

中国图像工程:2007

章毓晋

(清华大学电子工程系,北京 100084)

摘要 该文是关于中国图像工程的年度文献综述系列之十三。为了使国内广大从事图像工程研究和图像技术应用的科技人员能够较全面地了解国内图像工程研究和发展的现状,并能够方便地查询有关文献,现从2007年在国内15种有关图像工程重要中文期刊的共118期上发表的3312篇学术研究和技术应用文献中,选取出895篇属于图像工程领域的文献,并根据各文献的主要内容将其分别归入图像处理、图像分析、图像理解、技术应用和综述5个大类,然后进一步分入23个专业小类(与去年相同)。在此基础上还进行了各期刊各类文献的统计和分析。根据统计分析结果可看到我国图像工程在2007年许多新进展的情况。特别值得指出,在上述15种期刊上所发表的图像工程文献数量在2007年有大幅增加并达到历史最高,显示了图像工程研究在中国继续发展的趋势。

关键词 图像工程 图像处理 图像分析 图像理解 技术应用 综述 统计 分类

中图法分类号: TN911 TP391 **文献标识码:** A **文章编号:** 1006-8961(2008)05-0825-28

Image Engineering in China: 2007

ZHANG Yu-jin

(Department of Electronic Engineering, Tsinghua University, Beijing 100084)

Abstract This is the thirteenth in the survey series of the yearly bibliographies on image engineering in China. The main purpose of this survey work is to report the up-to-date development of image engineering in China, to provide a convenient means of literature searching facility for readers working in related areas, and to supply a useful reference for editors of journals and potential authors of papers. Considering the wide distribution of related publications in China, 895 references on image engineering research and technique are selected from 3 312 research papers published on a set of 15 Chinese journals around 118 issues. These 15 journals are important ones in which papers concerning image engineering have higher quality. Those selected references are classified into 5 categories (image processing, image analysis, image understanding, technique application and survey), and then into 23 specialized classes according to their main contents (similar like last year). Some analysis and discussions about the statistics made on the results of classifications by journal and by category are also presented. This work shows a general and off-the-shelf picture of the various progresses of image engineering in China in 2007. It should be pointed out particularly that, in 2007 the number of research papers for image engineering, published in the above 15 journals has greatly increased and staged in a new era in the history. A tendency of continuous development of image engineering in China shows great promise.

Keywords image engineering, image processing, image analysis, image understanding, technique application, survey, statistics, classification

1 引言

图像工程是一个系统地研究各种图像理论、开

发各种图像处理技术和使用各种图像处理设备的综合学科,主要可分成如下紧密联系又有区别的3个层次:图像处理、图像分析和图像理解^[1]。近年来,图像工程的研究内容越来越深入,与越来越多学科

基金项目:国家自然科学基金项目(60573148);教育部高等学校博士学科点专项科研基金项目(SRFDP-20060003102)

第一作者简介:章毓晋,男,教授,博士生导师。1989年获比利时列日大学应用科学博士学位,中国图象图形学学会副理事长,学术委员会主任,《中国图象图形学报》副主编。E-mail: zhangyj@ee.tsinghua.edu.cn, 主页: http://www.ee.tsinghua.edu.cn/~zhangyujin/

的研究相结合,并得到越来越多学科(数学、物理、心理、生理等学科)的新理论和电子、计算机等专业学科技术的支持。图像技术的应用范围也已非常广泛,已涉及到通信、教育、文档、生物、医学、遥感、测绘、军事、公安、交通、工业自动化和办公自动化等诸多领域。

从 1996 年开始,笔者逐年翻阅前一年发表在国内外一些重要中文期刊上有关图像工程研究应用的文献,并根据其内容进行了分类和统计,撰写成综述性文章(见文献[1]~[13])。这些文章构成了一个中国图像工程的年度文献综述系列。

本文是关于中国图像工程的年度文献综述系列之十三,本文从 2007 年刊载在国内 15 种重要期刊上的 3 312 篇中文文献中(另有 93 篇英文文献未参与统计),选出了 895 篇有关图像工程的文献,并对其进行了分类和统计(包括文献选取情况、刊物刊登情况和各类别数量情况),还结合分类和统计结果对 2007 年我国图像工程发展的热点和趋势进行了分析和讨论。

2 综述目的

当前年该文献综述系列进入第 2 个 10 年时^[12],曾对该文献综述原先的 3 个主要目的^[1~11]进行了讨论。下面仅将各目的的要点和讨论的结果概述如下:

(1) 概括我国图像工程的发展现状

众所周知,期刊是一类独具特色的信息载体。由于一门学科的重要期刊一般均刊载大量相关学科的信息,且水平较高,能够反映该学科的最新研究成果、进展以及前沿动态^[14],因此通过对有关图像工程的重要期刊上刊载文献的统计分析,不仅可以帮助人们了解我国图像工程研究和应用的总体情况,还能够为制定学科发展方向和研究策略提供科学的依据。

经过十多年的工作,这个目的仍没有改变。事实上,科技界对期刊的关注和重视更加强了,期刊文献对图像工程研究和应用的牵引指导作用也更大了。同时由于本综述系列对学科发展趋势的分析判断与实际情况吻合^[15],且也在多年实践中得到了验证^[11],所以本文综述系列的这个目的是达到了,而且会继续起到它的作用。

(2) 便利从事图像工程研究和图像技术应用的

人员查阅有关文献

一门学科的重要期刊一般是受到该专业读者特别关注的期刊^[14]。因为作为一门比较新兴的学科,图像工程内容新、覆盖面广,有关文献的内容涉及领域宽,文献的分布也比较广,所以通过对重要期刊上有关文献的归纳分类可以方便研究应用人员进行文献查阅,定期掌握专业动向,以达到共同发展我国图像工程事业的目的。

随着近年许多期刊上网,人们常借助关键词来搜索相关文献,而不再有规律地翻阅刊物。从这个角度来说,该系列帮助人们选择刊物的目的有一定的变化。然而需要指出,由专业人员通过阅读文献实现的归纳分类要比仅用关键词进行搜索准确可靠,特别是由于不同领域的作者有一些惯用的表述方式,使得许多技术内容相近的文献不能用同一个关键词来搜索,而用同一个关键词搜索到的文献在内容上常有很大的离散性。因此对希望定期掌握专业动向的人员来说,该综述所提供的统计信息在查阅文献时仍有用,且可靠。

(3) 为期刊编者和文献作者提供有用的参考信息

由于对期刊文献的统计结果可反映出当前有关该学科信息在各期刊中的分布状况^[14],因此对期刊的编者来说,据此可了解学科的进展情况,并从中确定期刊的学术地位、作用和发展策略;对文献的作者来说,由于发表科研文献的主要目的是宣传研究成果,促进技术交流,因此要关注刊物的学术权威性和领域重点,而本工作则可对投稿起参考和导向作用。

这里参考信息是向两方面的人提供的。从期刊编者的角度来说,该综述仍然有助于确定期刊的学术地位、作用和发展策略;而从文献作者的角度来说,由于期刊上网和读者查阅期刊文献方式的变化,读者在查阅文献时并不一定首先注意到刊物的学术权威性和覆盖的专业领域,而作者在投稿时也会受到其他因素的影响。不过从深一些的层次思考这个问题,需要注意到期刊文献总是由同行或相近专业人员评审后才得以发表的。由于历史的原因和刊物的性质,各刊物的审稿人还有许多专业特点,或者说他们的研究领域还是有所侧重的。如果投稿者考虑到上述情况,选择恰当的刊物,就有望使稿件得到密切相关领域专家的评审,反馈的信息也将会更有意义。另外,该工作对揭示我国图像工程科技人员的水平、现状和变化的研究也打下了很好的基础^[16]。

3 刊物选取

图像工程涉及范围广泛,研究发展迅速,相关刊物比较多,文献分布也比较广。在过去十多年中,综述对刊物选取的基本原则一直保持一致^[1-13],这些原则主要是:

(1)读者较多:均为发行比较广泛的国内中文一次文献期刊;

(2)水平较高:多为国内一级学会的会刊,其他也是相关专业领域中重要的二级学会会刊;

(3)信息较多:指刊物内有关图像工程的文献比较集中,一般平均每期多在两篇以上。

根据上述原则选出并认定的15种刊物已被称为中国图像工程重要期刊^[5]。本综述系列也一直选取这些期刊作为文献源^[1-13]。近年来,随着图像工程的迅速发展,相关的新刊物时有出现,而且一些原来侧重于其他研究领域和专业方向的期刊也开始刊登了不少有关图像工程的文献。但是考虑到本综述系列的连续性和统计的一致性,以及这些刊物本身的发展情况,今年本文所选取的期刊仍与历年本综述系列选取的期刊完全相同^[1-13],其刊名仍根据所给的缩写代号统一按拼音顺序排列如表1所示。

表1 刊物名称和代号表

Tab. 1 Selected journals and their abbreviations

序号	代号	刊物名称
1	[CT]	《CT理论与应用研究》
2	[CX]	《测绘学报》
3	[DC]	《电子测量与仪器学报》
4	[DX]	《电子学报》
5	[DxX]	《电子与信息学报》
6	[JX]	《计算机学报》
7	[MR]	《模式识别与人工智能》
8	[SC]	《数据采集与处理》
9	[TX]	《通信学报》
10	[XC]	《信号处理》
11	[YX]	《遥感学报》
12	[ZS]	《中国生物医学工程学报》
13	[ZTi]	《中国体视学与图像分析》
14	[ZTu]	《中国图象图形学报》
15	[ZX]	《自动化学报》

与去年相比,这15种刊物虽由多个不同单位(学会或机构)主办,但均基本保持了原来的覆盖领域和出版风格。除《模式识别与人工智能》仍仅有印刷版外,其余14种刊物上的文献都可以通过中国期刊网或万方数据库查到全文。

4 文献选取和分类

本文只从上述15种重要期刊上选取了其中有关图像工程的文献,其选取的基本原则与本综述系列的前12年的原则^[1-13]仍一致,这些原则主要是:

(1)以中文发表的(各刊上用英文写的文献和直接从外文翻译的译文没有参与统计)、主要报道国内工作的文献;

(2)属于学术论文、研究简报、研究通信、技术应用等介绍图像工程研究成果与应用进展的文献(没有包括诸如普及类型和讲座类型的文献);

(3)作为年度综述系列,本文只选取在2007年出版的期刊(除去增刊^[3])上发表的文献。

图像工程文献涉及内容多、覆盖面广,合理的文献分类方案至关重要。本文仍采用了本综述系列一贯的分类方案,即首先把所有文献分成图像处理、图像分析、图像理解、技术应用和综述评论5大类;然后在每大类中再根据文献内容的主要技术特点或应用领域进一步分成小类^[1-13]。本综述系列前5年均包含18个小类^[1-6],考虑到进入新世纪后图像工程研究出现的一些新热点,所以从2000年的综述开始,在继承本系列分5大类格局的基础上,在图像处理、图像分析和图像理解3大类中每类各增加了1个小类(分别为A5, B5, C4),所以本综述系列第2个5年中均有21个小类^[7-11]。从2005年的综述开始,本系列进入第2个10年,结合图像工程研究和应用的进展在图像处理和图像理解两大类中每类各增加了1个小类(分别为A6, C5),达到了23个小类^[12]。本文与前两年相同^[12,13],也分23个小类,具体对文献的分类情况和各类所用代号见表2。

表 2 文献分类表

Tab. 2 Classification scheme for publications

大类	名称	小类	名称和主要内容
A	图像处理	A1	图像采集(包括各种成像方法、获取及存储、摄像机校正等)
		A2	图像重建(从投影等重建图像)
		A3	图像增强和恢复等(包括变换、滤波、复原、校正等)
		A4	图像(视频)压缩编码(包括算法研究、国际标准实现等)
		A5	图像数字水印和图像信息隐藏
		A6	图像多分辨率处理(超分辨率重建、图像分解和插值、分辨率转换等)
B	图像分析	B1	图像分割和边缘检测
		B2	目标表达、描述、测量(包括二值图处理分析等)
		B3	目标特性(颜色、形状、纹理、空间、运动等)的分析
		B4	目标检测和识别(目标 2 维定位、提取和分类等)
		B5	人体生物特征提取和验证(包括人脸和器官的检测、定位与识别)
C	图像理解	C1	图像匹配和融合等(包括序列、立体图的配准、镶嵌等)
		C2	场景恢复(3 维表达、建模、重构或重建等)
		C3	图像感知和解释(包括语义描述、信息模型、专家系统、机器学习、推理等)
		C4	基于内容的图像和视频检索
		C5	时空技术(3 维运动分析、姿态检测、对象跟踪、行为判断和理解)
D	技术应用	D1	硬件,系统和快速(并行)算法
		D2	通信、视频传输(包括电视、网络、广播等)
		D3	文档(包括文字、数字、符号等)
		D4	生物、医学
		D5	遥感、雷达、测绘
		D6	其他(不在以上各类的应用)
E	综述评论	E1	综述(概括图像处理/分析/理解,或综合新技术)

5 文献分类统计结果和讨论

根据上述的刊物和文献选取原则,本文首先从 2007 年出版的 15 种期刊(共 118 期)上所发表的 3 312 篇文献中,选出了与图像工程有关的 895 篇文献;然后,根据如表 2 所列的文献分类方案将这些文献全部分到 5 个大类,并进一步分到 23 个小类中。

需要指出的是,虽然有些文献的内容可能与几个小类均相关,但本文一般根据该文献的主要研究内容或主要技术观点而仅归入一个小类(概括不同大类的综合文献都归在 E 类的 E1 小类中)。下面从粗到细分 3 种情况(3 个层/级/档)来介绍、分析和讨论分类统计的结果。

5.1 近 13 年图像工程文献选取和分类概况比较

表 3 给出了从综述系列开始以来共 13 年间对前述 15 个刊物所登载的文献的数量(文献总数)和所选取的图像工程文献的数量(选取总数)和选取率以及对所选文献分 5 大类统计得到的结果,其中,小计和年平均都是对 13 年数据进行统计的结果,5 个分类栏中括号内的数据为该文献数量在(当年)总选取文献数量中所占的比例。

从表 3 的统计数据可以看出以下特点:

(1)2007 年的文献总数达到历史新高。一方面,《自动化学报》调整了出刊周期,由双月刊改为月刊,使该年度所统计的 15 种期刊的总期数达到 118 期;另一方面,许多刊物都增加了每期的页码数(比较突出的是《电子与信息学报》和《中国图象图形学报》,都增加了 1/4 以上),使得刊物总容量有所增加。上述两方面的因素使得该综述所统计的 15 种刊物的 2007 年的文献总数达到了该综述第 1 次统计的 1995 年文献总数的 3.3 倍多。

(2)2007 年所选取到的图像工程文献总数比 2006 年继续有相当大的增加(此次增加的数量比综述第 1 年的全部数量都多),这不仅是由于 2007 年的文献总数如上所述继续增加,更为突出的是 2007 年的选取率又创了历史新高,达到了前所未有的 27%(几乎比综述第 1 年的选取率翻了一番)。这既是图像工程方面的研究成果和投稿数量历年都在不断增加的结果,也是图像工程学科蓬勃发展的明证。

(3)从几个大类文献数量的变化情况来看,2007 年从图像处理到技术应用的 4 大类的文献数量都比上一年有几十篇的增加(可以说各个领域都在稳步发展),其中图像处理大类文献量的增加相对来说最为突出一些。

5.2 2007 年各刊图像工程文献刊载情况

表 4 给出了对各刊 2007 年文献选取情况和分 5 大类统计的具体结果。表 4 中,选取期数和文献总数的含义一目了然;选取数量是指从文献总数中选取的图像工程文献的数量;选取比例是指从各刊所选取的图像工程文献数与该刊(所选取的)文献

表 3 近 13 年图像工程文献选取数和分类表

Tab. 3 Summary and categorization of image engineering publications over the last 13 years

年度	文献总数	选取总数	选取率(%)	图像处理	图像分析	图像理解	技术应用	综述评论
1995	997	147	14.74	35(23.8%)	52(35.4%)	14(9.52%)	46(31.3%)	
1996	1 205	212	17.59	52(24.5%)	72(34.0%)	30(14.2%)	55(25.9%)	3(1.42%)
1997	1 438	280	19.47	104(37.1%)	76(27.1%)	36(12.9%)	60(21.4%)	4(1.43%)
1998	1 477	306	20.72	108(35.3%)	96(31.4%)	28(9.15%)	71(23.2%)	3(0.98%)
1999	2 048	388	18.95	132(34.0%)	137(35.3%)	42(10.8%)	73(18.8%)	4(1.03%)
2000	2 117	464	21.92	165(35.6%)	122(26.3%)	68(14.7%)	103(22.2%)	6(1.29%)
2001	2 297	481	20.94	161(33.5%)	123(25.6%)	78(16.2%)	115(23.9%)	4(0.83%)
2002	2 426	545	22.46	178(32.7%)	150(27.5%)	77(14.3%)	135(24.8%)	5(0.92%)
2003	2 341	577	24.65	194(33.6%)	153(26.5%)	104(18.0%)	119(20.6%)	7(1.21%)
2004	2 473	632	25.60	235(37.2%)	176(27.8%)	76(12.0%)	142(22.5%)	3(0.47%)
2005	2 734	656	23.99	221(33.7%)	188(28.7%)	112(17.1%)	131(20.0%)	4(0.61%)
2006	3 013	711	23.60	239(33.6%)	206(29.0%)	116(16.3%)	143(20.1%)	7(0.98%)
2007	3 312	895	27.02	315(35.2%)	237(26.5%)	142(22.6%)	194(21.7%)	7(0.78%)
小计	27 878	6 294		2 139(34.0%)	1 788(28.4%)	923(14.7%)	1 387(22.0%)	57(0.91%)
平均	2 144	484	22.58	164.5	137.5	71.0	106.7	4.4

表 4 各刊 2007 年图像工程文献选取分类一览表

Tab. 4 Summary of selected image engineering publications in 2007 over 15 journals

期刊名称	选取期数	文献总数	选取数量	选取比例 (%)	分类					文献比例 (%)
					A	B	C	D	E	
CT 理论与应用研究	4	47 ⁽¹⁾	20	42.6	13			7		2.23
测绘学报	4	77 ⁽²⁾	9	11.7	3	1	3	2		1.01
电子测量和仪器学报	6	150	24	16.0	9	3	2	10		2.68
电子学报	12	480	98	20.4	47	25	11	15		10.95
电子与信息学报	12	705	119	16.9	46	26	16	31		13.30
计算机学报	12	250 ⁽³⁾	48	19.2	18	10	10	10		5.36
模式识别与人工智能	6	136	48	35.3	6	26	12	4		5.36
数据采集与处理	4	94	30	31.9	10	5	6	9		3.35
通信学报	12 ⁽⁴⁾	258	28	10.9	13	3	3	9		3.13
信号处理	6	213	50	23.5	18	13	7	11	1	5.59
遥感学报	6	107 ⁽⁵⁾	28	26.2	4	4	4	16		3.13
中国生物医学工程学报	6	176	40	22.7	10	6	5	19		4.47
中国电视学与图像分析	4	61 ⁽⁶⁾	19	31.2	7	5	2	5		2.12
中国图象图形学报	12	370 ⁽⁷⁾	286	77.3	99	92	50	39	6	31.95
自动化学报	12	188 ⁽⁸⁾	48	25.5	12	18	11	7		5.36
小计	118	3 312	895		315	237	142	194	7	

注:(1)该刊另有 2 篇英文文献没有参与统计;(2)该刊另有 3 篇英文文献没有参与统计;(3)该刊另有 3 篇英文文献没有参与统计;(4)该刊另有增刊二期没有参与统计;(5)该刊另有 18 篇英文文献没有参与统计;(6)该刊另有 2 篇英文文献没有参与统计;(7)该刊另有 5 篇英文文献没有参与统计;(8)该刊另有 60 篇英文文献没有参与统计。

总数的比;文献比例则是指从该刊中选取的文献数在从所有 15 种期刊中选取的文献总数里所占的比例。另外,表中分类栏按 5 大类分成 5 列,从中可看出各刊物的主要覆盖领域范围。

对表 4 的统计数据可以进行以下几方面的分析:

(1) 在 2007 年,除《自动化学报》多出版了 6 期以外,其他各刊的期数均与 2006 年相同。另外,2007 年仅《通信学报》出了两期增刊,看来增刊的吸引力正在下降,这也表明本综述系列在文献选取中不取增刊^[3]的原则是有道理的。

(2) 各刊的选取比例给出了 2007 年这一年度内该刊刊载的有关图像工程文献的相对频度,在一定程度上反映了该刊覆盖专业范围中图像工程学科所占的比例。由表 4 可见,一直占据榜首的《中国图象图形学报》的选取比例仍最大(接近 4/5)。这个事实表明,《中国图象图形学报》是图像工程的最专门的刊物。其他在该年选取比例较高的刊物(与 2006 年有些不同)依次为《CT 理论与应用研究》,《模式识别与人工智能》,《数据采集与处理》和《中国体视学与图像分析》,文献选取比例均超过 30%。

(3) 期刊载文量是对科技期刊在科学活动和文献交流中所起作用及其质量进行评价常用的 7 个指标中的第 1 个^[17]。表 4 中的各刊的文献比例正对应该刊在(所有刊物的)图像工程文献载文中所占的比例。它们代表了各刊有关图像工程文献的相对集中度,在一定程度上体现了该刊对图像工程发展所起的作用和所做的贡献。从这个意义上讲,这个比例很值得重视。由表 4 可见,《中国图象图形学报》的文献比例仍与前些年^[3-13]一样,保持最大(近 1/3)。这说明《中国图象图形学报》在反映我国图像工程领域研究的进展,报道该领域科技的成果等方面都起到了重要的作用,并为从事图像工程研究、开发和应用的人员提供了互相交流的最集中场所^[18]。其他两个文献比例较高的刊物依次为《电子与信息学报》和《电子学报》,均为信息领域比较侧重学术研究的刊物。

(4) 根据文献离散律^[17],有关某一学科的学术文献会大量地集中在为数不多的刊物上,而其余少量文献则分散在较多的其他刊物上。从今年的数据看,图像工程文献的分布也符合这个规律。由表 4 中各刊的选取数量或文献比例可见,发表在有最高

文献集中率的前 3 种刊物,即《中国图象图形学报》、《电子与信息学报》和《电子学报》上的有关文献的数量占了所有 15 种刊物的有关文献的 56.2%,或者说这约 1/5 数量的刊物发表了超过 1/2 数量的文献。

5.3 2007 年各刊图像工程文献详细分类情况

科技论文的发表是科研人员研究成果的一种体现,所以各类文献的数量在相当范围内反映了不同领域相关研究所受到的关注程度,也对研究所取得的成果有一定的衡量作用。表 5 给出了对 2007 年各刊所选文献进一步按表 2 所列 23 小类进行分类统计的详细结果。

为更方便和直观地看出各小类文献数量的分布情况,图 1 给出了以直方图形式表示的表 5 中 23 小类的分类统计结果。

(1) 与去年相同,在各小类文献数量中排名第 1 的仍是“B1:图像分割和边缘检测”小类。正如前几年已讨论过的,对图像分割的研究“经久不衰”,这除反映了这个由图像处理进入到图像分析的关键步骤,在图像工程中所占据的重要位置和在当前图像技术应用中的突出作用外,也在一定程度上表明这方面的工作有相当的难度和挑战性。事实上,尽管对图像分割的研究已取得了许多成果^[19],但还有许多需要解决的问题,且更广泛的研究正在深入开展^[20]。

(2) 在各小类文献数量中排名第 2 和第 3 的小类均与去年相同,分别为“A3:图像增强和恢复等”小类和“C1:图像匹配融合等”小类。需要指出,在图像工程中,我们不仅强调理论研究,也重视技术应用。在 2007 年,与图像理解小类——“C1:图像匹配融合等”密切相关的技术应用小类——“D5:遥感、雷达、测绘”的文献数量不仅达到了历史新高,而且在各小类文献数量中的排名也达到了第 5。综合来讲,遥感图像方面的研究和应用是近年图像工程的一个重点。

(3) 去年排名第 4 的“A4:图像(视频)压缩编码”小类,今年降到了第 8,而去年排名第 6 的“A5:图像数字水印和图像信息隐藏”小类今年则上升到了第 4。这种变化趋势与两年前的预测是一致的^[12]。

(4) 其他小类中,“C4:基于内容的图像和视频检索”小类的文献数量比去年增加了 44%,不仅覆盖了典型的研究方向^[21],而且在基于语义的研究方

表 5 2007 年图像工程文献分小类统计细表

Tab. 5 Detailed classifications of selected image engineering publications in 2007 over 15 journals

期刊代号	A1	A2	A3	A4	A5	A6	B1	B2	B3	B4	B5	C1	C2	C3	C4	C5	D1	D2	D3	D4	D5	D6	E1
[CT]	1	12															3						4
[CX]	3						1					3										2	
[DC]	3		4	1	1		2		1				2				5						5
[DX]	7	5	9	10	11	5	8	1	2	5	9	6	1	1	1	2	2	2				10	1
[DxX]	12	4	10	7	8	5	9		5	7	5	10	3		3		4	5			1	21	
[JX]	2	2	2	4	6	2	4	2		3	1	3	1	1	5		1	4	1	1		3	
[MR]			2	1	3		7	1	3	5	10	6	2	1	2	1				4			
[SC]	1	1	3		3	2	2		1	2		3	1		2		1	1			1	1	5
[TX]				3	8	2	2				1	1			2		1	7					1
[XC]	2	2	8	1	5		4		1	6	2	4	1		1	1	3	4			1	3	1
[YX]	3		1				2			2		3	1									16	
[ZS]	2	6	2				4		1	1	2	1	1	1								19	
[ZTi]	2	4	1				3	1		1		2							1	3			1
[ZTu]	6	2	36	25	23	7	36	4	4	23	25	23	5	3	17	2	8	9	4	2	7	9	6
[ZX]	4		1	2	3	2	6		3	5	4	6	2		2	1	2		4				1
小计	48	38	79	54	71	25	90	9	21	59	58	72	20	7	36	7	30	32	14	28	63	27	7

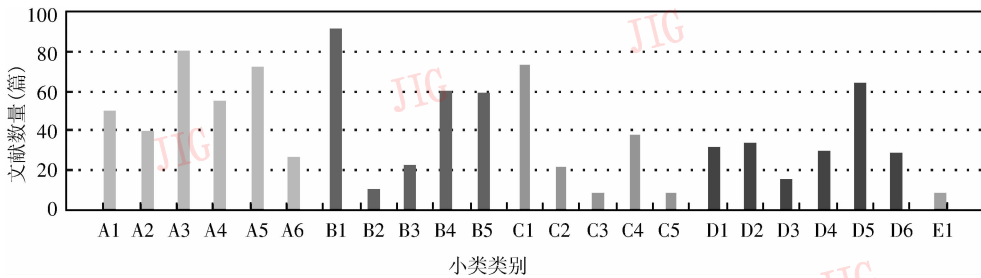


图 1 对 23 小类进行文献分类的结果

Fig. 1 Classifications of selected publications in 23 classes

面也有一定的进展^[22]。另外,“A1:图像采集”和“ A2:图像重建”小类中有关新的成像手段和算法的文献数量也有了明显的增加,可见,图像获取的来源将会更多。最后,前年新增的“ A6:图像多分辨率处理”小类的文献数量 2007 年比 2006 年翻了一番。

(5)考虑表 5 的各行,它反映了各刊所选图像工程文献的类别。在表 5 中,只有《中国图象图形学报》上所载的文献覆盖了图像工程的所有分支,而其他刊物还是有其不同的侧重领域和专业特色的。虽然本综述考虑的 15 种期刊中,《中国图象图形学报》是最年轻的 1 种,但事实上,对该刊洛特卡分布参数的统计分析表明,它已是一个比较成熟的刊物了^[23]。所以,它对图像工程所有分支的覆盖对

图像工程的发展非常有利。

通过对表 5 和图 1 统计数据分析和与前几年对应数据^[1-13]的比较可以看出:

6 结 论

本文是关于中国图像工程的年度文献综述系列之十三。文中先根据该综述系列一贯的期刊选取、文献选取和分类原则,对 2007 年在中国图像工程重要期刊上发表的有关文献进行了选取、分类、统计、分析和讨论。从对统计结果的分析以及与综述系列以前相关数据^[1-13]的综合比较可以看出,图像工程的研究和应用在我国又有了许多新的进展。如果仅

与去年相比,那么今年主要的研究热点则没有太大的变化。另外,从该文中除了可以了解当前我国图像工程研究和应用的总体情况外,也可建立对学科的全面认识,并找到制定学科发展方向的一些具体依据。

本综述系列除对中国图像工程的发展起到了一定的推动和引导作用外,还促进了一些相关领域综述系列的产生。这个工作对揭示我国图像工程科技人员的水平、现状和变化的研究也打下了很好的基础^[16]。所以,虽然这个工作随着文献数量的增加,工作量也迅速增加,而且需要大量的手工投入(自动化类似工作的尝试表明,尽管其中有些步骤可以借助计算机来进行,但人工的检验和校正对保证质量仍是必不可缺的^[24]),但却是很有意义的。中国图像工程不断发展前进的新“图像”将会继续描绘下去。

参考文献 (References)

- Zhang Yu-Jin. Image engineering in China; 1995 [J]. Journal of Image and Graphics, 1996, **1**(1): 78 ~ 83. [章毓晋. 中国图像工程: 1995 [J]. 中国图象图形学报, 1996, **1**(1): 78 ~ 83.]
- Zhang Yu-Jin. Image engineering in China; 1995 (Supplement) [J]. Journal of Image and Graphics, 1996, **1**(2): 170 ~ 174. [章毓晋. 中国图像工程: 1995 (续) [J]. 中国图象图形学报, 1996, **1**(2): 170 ~ 174.]
- Zhang Yu-Jin. Image engineering in China; 1996 [J]. Journal of Image and Graphics, 1997, **2**(5): 336 ~ 344. [章毓晋, 中国图像工程: 1996 [J]. 中国图象图形学报, 1997, **2**(5): 336 ~ 344.]
- Zhang Yu-Jin. Image engineering in China; 1997 [J]. Journal of Image and Graphics, 1998, **3**(5): 404 ~ 414. [章毓晋. 中国图像工程: 1997 [J]. 中国图象图形学报, 1998, **3**(5): 404 ~ 414.]
- Zhang Yu-Jin. Image engineering in China; 1998 [J]. Journal of Image and Graphics, 1999, **4**(5): 427 ~ 438. [章毓晋. 中国图像工程: 1998 [J]. 中国图象图形学报, 1999, **4**(5): 427 ~ 438.]
- Zhang Yu-Jin. Image engineering in China; 1999 [J]. Journal of Image and Graphics, 2000, **5A**(5): 359 ~ 373. [章毓晋. 中国图像工程: 1999 [J]. 中国图象图形学报, 2000, **5A**(5): 359 ~ 373.]
- Zhang Yu-Jin. Image engineering in China; 2000 [J]. Journal of Image and Graphics, 2001, **6A**(5): 409 ~ 424. [章毓晋. 中国图像工程: 2000 [J]. 中国图象图形学报, 2001, **6A**(5): 409 ~ 424.]
- Zhang Yu-Jin. Image engineering in China; 2001 [J]. Journal of Image and Graphics, 2002, **7A**(5): 417 ~ 433. [章毓晋. 中国图像工程: 2001 [J]. 中国图象图形学报, 2002, **7A**(5): 417 ~ 433.]
- Zhang Yu-Jin. Image engineering in China; 2002 [J]. Journal of Image and Graphics, 2003, **8A**(5): 481 ~ 498. [章毓晋. 中国图像工程: 2002 [J]. 中国图象图形学报, 2003, **8A**(5): 481 ~ 498.]
- Zhang Yu-Jin. Image engineering in China; 2003 [J]. Journal of Image and Graphics, 2004, **9**(5): 513 ~ 531. [章毓晋. 中国图像工程: 2003 [J]. 中国图象图形学报, 2004, **9**(5): 513 ~ 531.]
- Zhang Yu-Jin. Image engineering in China; 2004 [J]. Journal of Image and Graphics, 2005, **10**(5): 537 ~ 560. [章毓晋. 中国图像工程: 2004 [J]. 中国图象图形学报, 2005, **10**(5): 537 ~ 560.]
- Zhang Yu-Jin. Image engineering in China; 2005 [J]. Journal of Image and Graphics, 2006, **11**(5): 601 ~ 623. [章毓晋. 中国图像工程: 2005 [J]. 中国图象图形学报, 2006, **11**(5): 601 ~ 623.]
- Zhang Yu-Jin. Image engineering in China; 2006 [J]. Journal of Image and Graphics, 2007, **12**(5): 753 ~ 775. [章毓晋. 中国图像工程: 2006 [J]. 中国图象图形学报, 2007, **12**(5): 753 ~ 775.]
- Lin Bei-dian, Zhang Qi-su. A Guide to the Core Journals of China [M]. Beijing: Beijing University Publishers, 1996. [林被甸, 张其苏. 中文核心期刊要目总览[M]. 北京: 北京大学出版社, 1996.]
- Zhang Yu-Jin. Image engineering in China and some current research focus [J]. Journal of Computer-aided Design and Graphics, 2002, **14**(6): 489 ~ 500. [章毓晋. 中国图像工程及当前的几个研究热点[J]. 计算机辅助设计与图形学学报, 2002, **14**(6): 489 ~ 500.]
- Zhang Yu-Jin, LI Rui. Statistical analysis on the authors of paper cited in the survey series "Image Engineering in China" [J]. Journal of Image and Graphics, 2001, **6A**(1): 1 ~ 5. [章毓晋, 李睿. 对“中国图像工程”综述系列里文献作者的统计分析[J]. 中国图象图形学报, 2001, **6A**(1): 1 ~ 5.]
- Ding Xue-dong. Fundamentals of Literature Metrology [M]. Beijing: Beijing University Publishers, 1993. [丁学东. 文献计量学基础[M]. 北京: 北京大学出版社, 1993.]
- Zhang Yu-Jin, Hu Feng. Ten years' statistical analysis on the articles and authors of "Journal of Image and Graphics" since its first Publication [J]. Journal of Image and Graphics, 2006, **11**(1): 1 ~ 7. [章毓晋, 胡峰. 对《中国图象图形学报》创刊 10 年来文章和作者的统计分析[J]. 中国图象图形学报, 2006, **11**(1): 1 ~ 7.]
- Zhang Yu-Jin. Image Segmentation [M]. Beijing: Science Publishers, 2001. [章毓晋. 图像分割[M]. 北京: 科学出版社, 2001.]
- Zhang Yu-Jin (ed.). Advances in Image and Video Segmentation [M]. Hershey, Philadelphia, USA: IRM Press, 2006.
- Zhang Yu-Jin. Content-based Visual Information Retrieval [M]. Beijing: Science Publishers, 2003. [章毓晋. 基于内容的视觉信息检索[M]. 北京: 科学出版社, 2003.]
- Zhang Yu-Jin (ed.). Semantic-Based Visual Information Retrieval [M]. Hershey, Philadelphia, USA: IRM Press. 2007.
- Zhang Yu-Jin, Ma Jing. Statistic analysis of lotka's parameters for "Chinese Journal of Image and Graphics" [J]. Journal of Image and Graphics, 2007, **12**(5): 776 ~ 781. [章毓晋, 马婧. 对《中国图象图形学报》之洛特卡分布参数的统计分析. 中国图象图形学报, 2007, **12**(5): 776 ~ 781.]
- Rosenfeld A. Classifying the literature related to computer vision and image analysis [J]. Computer Vision and Image Understanding, **79**(2): 308 ~ 323, 2000.

附录 本文统计的文献(共 895 篇) 分类一览

同类中的文章按作者姓名之拼音排序,同拼音者再按笔划排序。

为节省篇幅,作者多于3人仅列前3人,后加“等”字,刊名用中文拼音缩写代号(见表1),发表年份(2007)均省略。

A:图像处理(共 315 篇)

A1:图像采集(48篇)

- 陈行勇,姜卫东,刘永祥等. 相位匹配处理微动目标 ISAR 成像. DX,35(3):435~440.
- 陈耀文,沈智威,黄静霞等.³¹P 磁共振频谱成像研究及应用的进展. ZTi,12(3):226~231.
- 邓小明,吴福朝,段福庆等. 基于一维标定物的反射折射摄像机标定方法. JX,30(5):737~747.
- 盖绍彦,达飞鹏. 一种新的相位法三维轮廓统模型及其标定方法研究. ZX,33(9):902~910.
- 甘荣兵,王建国. 基于最小全变差的 SAR 图像自聚焦算法. DxX,29(1):12~14.
- 高赞,姜威,朱孔凤. 基于最大梯度和阈值的自动聚焦算法. DC,21(5):49~54.
- 郭阳,徐心和. 未标定摄像机 P5P 问题的一种解析解. JX,30(7):1195~1202.
- 何云涛,江月松,陈海亭. 二维圆周综合孔径阵列优化及其毫米波成像特性研究. YX,11(1):33~38.
- 黄世奇,刘代志. 星载 SAR 成像与 SAR 图像中一些不确定性因素分析. CX,36(2):152~157.
- 黄嵩,张占龙,姚骏等. 基于混合正则化算法的颅内异物电阻抗成像仿真研究. ZS,26(5):695~699.
- 康志忠,张祖勋,阳凡林. 基于沿主光轴方向摄影立体像对的相对定向与核线排列. CX,36(1):56~61.
- 李刚,任钊,林凌等. 高速线扫描 OCT 的可行性与光学成像特性的研究. ZS,26(1):89~93.
- 李剑颖. VCT 的技术特性和临床价值. CT,16(2):60~65.
- 李燕平,邢孟道,保铮. 斜视 SAR 运动补偿研究. DxX,29(6):1421~1424.
- 李悦丽,梁甸农,黄晓涛. 一种单脉冲雷达多通道解卷积前视成像方法. XC,23(5):699~703.
- 刘军,王冬红. 基于 Level 0 产品的 ADS40 正射影像快速生成. YX,11(2):247~251.
- 刘正敏,武海澄,周荷琴. 一种基于参考扫描的 MRI 相位伪影校正方法. SC,22(3):282~287.
- 吕继宇,雷宏,阴和俊. CS 算法结合 COAA 算法提高机载合成孔径雷达成像质量. DxX,29(6):1425~1428.
- 马晓岩,秦江敏,贺照辉等. 抑制 SAR 压制性干扰的三通道对消方法. DX,35(6):1015~1020.
- 邱晓晖,赵阳,Alice Heng Wang CHENG 等. ISAR 成像最小畸变自聚焦与相位补偿的一致性分析. DxX,29(8):1799~1801.
- 孙凤梅,王卫宁. 关于摄像机正交运动下约束方程独立性的一点讨论. ZX,33(10):1088~1089.
- 孙进平,白霞,毛士艺. 双基地合成孔径雷达的扩展 ETF 成像算法. DX,35(12):2394~2398.
- 唐禹,王岩飞,张冰尘. 滑动聚束 SAR 成像模式研究. DxX,29(1):26~29.
- 汪玲,朱岱寅,朱兆达. 基于 SAR 实测数据的舰船成像研究. DxX,29(2):401~404.
- 王建华,朱元昌,王春平. 复杂背景下模板自动检测与定位的新方法. ZTu,12(8):1344~1348.
- 王亮,练有品,周智敏等. 抑制多径干扰的 UWB SAR 成像研究. XC,23(3):403~406.
- 王亮,王建,黄晓涛等. Chirp Scaling 算法中的相位补偿因子研究. DxX,29(1):6~11.
- 王亮,吴福朝. 基于一维标定物的多摄像机标定. ZX,33(3):225~231.
- 王平江,杨海民,金键. 光栅投影式 3 维照相系统中光栅投影仪的标定. ZTu,12(2):294~301.
- 王勇,姜义成. 一种新的信号分解算法及其在机动目标 ISAR 成像中的应用. DX,35(3):445~449.
- 王忠石,徐心和. 棋盘格模板角点的自动识别与定位. ZTu,12(4):618~622.
- 吴涛,王超,张红等. 基于图像特征的星载 SAR 图像模拟研究. YX,11(2):214~220.
- 徐超,金伟其,李雅琼等. 一种改进的凝视焦平面探测器亚像元成像处理算法. DX,35(8):1608~1611.
- 杨化超,邓喀中,张书毕等. 基于平面格网的非量测 CCD 相机自标定. ZTu,12(4):613~617.
- 杨夏,于起峰,伏思华. 由新质量图引导的 InSAR 快速解缠方法. DxX,29(10):2367~2370.
- 尹建凤,李道京,汤立波等. 星载 SAR 的空中运动目标检测和成像. DX,35(6):1032~1036.
- 尤红建,丁赤飏,付琨. SAR 图像对地定位的严密共线方程模型. CX,36(2):158~162.
- 余祖俊,杨娅楠,朱力强. 三维激光扫描测量系统标定方法研究. DC,21(6):31~35.
- 曾慧,邓小明,赵训坡等. 基于线对应的单应矩阵估计及其在视觉侧盘中的应用. ZX,33(5):449~455.
- 张过,李德仁. 卫星遥感影像 RPC 参数求解算法研究. ZTu,12(12):2080~2088.
- 张焕颖,张守宏,李强. 高速运动目标的 ISAR 成像方法. DxX,29(8):1789~1793.
- 张群,金亚秋. 强背景杂波下的地面运动目标干涉式三维

成像. *DxX*, **29**(1):1~5.

- 张新, 丁赤飏, 吴一戎等. 一种用于条带式 RD 算法的组合实时 PGA 方法. *DxX*, **29**(5):1065~1068.
- 赵秋玲, 赵建森, 蒋永华. 改进 DCT 的自动聚焦算法. *ZTu*, **12**(7):1206~1208.
- 赵彦伟, 吴锡令. 多相流电磁成像测井测量敏感场分析. *DC*, **21**(6):58~61.
- 郑晓双, 禹卫东. 一种宽波束机载 SAR 运动误差的频域补偿方法. *DxX*, **29**(7):1670~1673.
- 周峰, 王琦, 邢孟道等. 一种机载大斜视 SAR 运动补偿方法. *DX*, **35**(3):463~468.
- 周涛, 韩彧, 巩伟丽等. 活体动物体内成像技术及其在生物医学中的应用进展. *ZTi*, **12**(1):69~74.

A2: 图像重建 (38 篇)

- 陈春晓, 童超, 王世杰等. MRI 刚性平移运动模糊图像建模与恢复. *ZS*, **26**(3):368~372.
- 陈凌剑, 马建华, 陈武凡. 扇形束 CT 局部成像的 Lambda 优质重建. *ZS*, **26**(6):844~849.
- 陈阳, 陈武凡, 冯衍秋等. 采用 MRF 二次混合多阶先验的 PET 图像的贝叶斯重建. *ZS*, **26**(1):84~88.
- 段新辉, 张丽, 陈志强等. 多视角投影重建算法综述. *CT*, **16**(4):1~7.
- 冯衍秋, 陈武凡, 黄鑫等. 磁共振成像 PROPELLER 采样数据重建中的运动估计新算法. *ZS*, **26**(3):361~367.
- 冯衍秋, 陈武凡, 颜刚等. 磁共振成像 PROPELLER 数据网格化中的采样密度补偿新算法. *DX*, **35**(4):766~768.
- 郭平, 胡明. 基于 RBF 网络图像表示的 CT 重建算法研究. *DX*, **35**(6):1183~1186.
- 韩兴斌, 胡卫东, 郁文贤等. 一种复杂运动目标的 ISAR 成像算法. *DX*, **35**(6):1159~1164.
- 胡轶宁, 周健, 罗立民. 基于 Mumford Shah 正则项的 PET 图像重建方法. *SC*, **22**(4):391~395.
- 胡轶宁, 周健, 罗立民. 一种基于 Fourier-小波矩的 PET 图像重建方法. *JX*, **30**(12):2164~2172.
- 黄鑫, 陈武凡, 冯衍秋. 一种基于互信息量的并行磁共振图像重建新算法. *ZS*, **26**(6):850~855.
- 霍菲菲, 高新波. 基于三维小波变换的视频水印嵌入与盲提取算法. *DxX*, **29**(2):447~450.
- 江贵平, 黄鑫, 冯衍秋等. 一种适用于真实人体数据能有效消除 Gibbs 伪影的 MR 重建新算法. *JX*, **30**(11):2040~2047.
- 金国英, 罗戎蕾, 汪元美. 基于不可分离 MRA 的小波图像重建. *ZTi*, **12**(1):33~36.
- 雷文太, 刘立业, 粟毅. 平面分层煤质中目标的 TAM-DP 成像算法. *XC*, **23**(5):680~685.
- 黎成权, 李政, 李晨等. 关于同轴法 X 射线相衬 CT 的重建

算法研究. *CT*, **16**(2):1~7.

- 李化欣. 共轭梯度法在图像重建中的应用. *CT*, **16**(2):31~35.
- 李亮, 陈志强, 张丽等. 一种用于小体积偏置探测器锥束 CT 系统的反投影滤波重建算法. *CT*, **16**(1):1~9.
- 李真真, 杜明辉. 锥形束重构解析算法的研究进展. *ZS*, **26**(2):308~312.
- 刘力, 王燕芳. 正电子发射断层扫描仪 PET 中的数据校正常用方法. *ZTi*, **12**(2):147~151.
- 刘亮, 张斌, 潘晋孝. 基于探测器宽度的 FBP 改进算法. *CT*, **16**(1):54~59.
- 刘圆圆, 赵自然, 陈志强等. 用于宇宙射线 μ 子成像的 MLS-EM 重建算法加速研究. *CT*, **16**(3):1~5.
- 刘远, 张定华, 赵歆波等. 一种基于 SIMD 技术的快速并行代数重建算法. *ZTu*, **12**(1):73~77.
- 刘志伟, 许克峰. 基于图像信息损失率的合成孔径雷达干扰效果评估指标. *DX*, **35**(6):1042~1045.
- 孟静, 王加俊, 黄贤武等. 传输方程下基于模型的光学层析图像重建. *ZTu*, **12**(3):397~401.
- 莫会云, 潘晋孝. Splatting 算法在三维 CT 迭代算法中的应用. *CT*, **16**(3):6~12.
- 邱钧, 王亮. 由投影重建图像的对称网格迭代算法. *CT*, **16**(2):20~30.
- 邱钧, 徐茂林. 由投影重建图像的对称块迭代算法. *DxX*, **29**(10):2296~2300.
- 孙杰, 渠刚荣. 图像重建块迭代算法中松弛参数选取的研究. *CT*, **16**(2):14~19.
- 汤昕焯, 张丽, 陈志强等. 双能 DR 物质识别算法在 CT 成像系统中的应用. *ZTi*, **12**(2):88~92.
- 王世杰, 罗立民. 一种改进的 EPI 伪影校正算法. *XC*, **23**(4):568~572.
- 王振天, 张丽, 邢宇翔, 康克军. 统计重建算法综述. *CT*, **16**(4):8~21.
- 熊亮, 张丽, 陈志强等. 切向 CT 重建算法的研究. *CT*, **16**(1):10~18.
- 修志杰, 陈洁, 方广有等. 基于 F-K 偏移及最小熵技术的探地雷达成像法. *DxX*, **29**(4):827~830.
- 袁永照, 向茂生, 吴一戎等. 波数域算法在机载双天线干涉 SAR 成像中的应用. *DxX*, **29**(10):2379~2383.
- 翟静, 潘晋孝. FDK 算法中一种新的插值方法. *ZTi*, **12**(3):221~215.
- 张书铭, 胡宇光, 施元丁等. 同步辐射光成像中的最大似然迭代重建法. *CT*, **16**(2):8~13.
- 左年明, 夏丹, 蒋田仔等. 一般直线-圆弧扫描轨迹 CT 的三维精确重建. *DX*, **35**(7):1382~1386.

A3: 图像增强和恢复等 (79 篇)

- 安博文, 陈桂林. 基于双模板极值滤波器的传像光纤束中

- 的盲元消除. ZTu, **12**(9):1555 ~ 1557.
- 白衡,王世杰,罗立民等. 基于双树复数小波降噪的扩散张量估计. XC, **23**(3):330 ~ 335.
 - 曹荣,倪林,苗原. 基于一维模型的椒盐噪声去除方法. SC, **22**(2):172 ~ 177.
 - 陈建乐,刘济林,叶建洪等. 多视点视频中基于局部直方图匹配的亮度和色差校正. ZTu, **12**(11):1992 ~ 1999.
 - 谌安军,滕升华,邹谋炎. 图像序列中亮度闪烁去除. Dxx, **29**(1):39 ~ 42.
 - 程辉,沈大江,于秋则等. 多尺度 SVR 的 SAR 图像复原. XC, **23**(3):356 ~ 360.
 - 戴维,于盛林,孙栓. 基于 Contourlet 变换自适应阈值的图像去噪算法. DX, **35**(10):1939 ~ 1943.
 - 董鸿燕,李吉成,沈振康. 基于 Contourlet 变换的带噪图像增强方法. XC, **23**(6):836 ~ 840.
 - 付树军,阮秋琦,穆成坡等. 基于双向模糊扩散的保持特征的图像锐化. DX, **35**(11):2172 ~ 2175.
 - 付树军,阮秋琦,王文治. 基于各向异性扩散方程的局部非纹理图像修整与去噪. XC, **23**(4):548 ~ 551.
 - 傅彩霞,杨光. 一种新的具有增强效果的小波域图像去噪方法. ZTu, **12**(1):51 ~ 55.
 - 谷瑞军,叶宾,须文波. 基于谱聚类的两阶段颜色量化算法. ZTu, **12**(10):1922 ~ 1925.
 - 郭海霞,解凯. 一种改进的自适应中值滤波算法. ZTu, **12**(7):1185 ~ 1188.
 - 韩静,罗立民,鲍旭东. 基于小波变换的图像染色算法. ZTu, **12**(9):1579 ~ 1584.
 - 侯正信,何宇清,许微. 一种快速的图像修复算法. ZTu, **12**(10):1909 ~ 1912.
 - 胡春华,马旭东,戴先中. 基于 TVGA 正则化的室内运动模糊图像恢复. ZTu, **12**(9):1531 ~ 1536.
 - 胡旺,李志蜀,黄奇. 基于双窗口和极值压缩的自适应中值滤波. ZTu, **12**(1):43 ~ 50.
 - 黄光华,倪国强. 一种基于视锥适应模型的真实影像再现方法. ZTu, **12**(7):1161 ~ 1167.
 - 黄慧,周健,舒华忠等. 基于模糊异质扩散的图像去噪方法. SC, **22**(1):67 ~ 71.
 - 蒋恩松,李孟超,孙刘杰. 一种基于神经网络的卡尔曼滤波改进方法. Dxx, **29**(9):2073 ~ 2076.
 - 蒋雯丽,郑世宝. 电影胶片中霉斑噪声的数字处理技术. ZTu, **12**(10):1926 ~ 1930.
 - 金海燕,焦李成,刘芳. 基于 Curvelet 域隐马尔可夫树模型的 SAR 图像去噪. JX, **30**(3):491 ~ 497.
 - 金良海,李德华,姚行中. 自适应距离加权的自适应中值滤波算法. MR, **20**(4):577 ~ 581.
 - 金良海,李德华. 基于四元数旋转的开关型矢量中值滤波器. ZTu, **12**(12):2091 ~ 2095.
 - 金良海,李德华. 一种基于空间距离加权的自适应矢量中值滤波器. ZTu, **12**(6):970 ~ 976.
 - 孔月萍,曾平,何波等. LUT 与 Elman 网络相结合的图像逆半调算法. ZTu, **12**(11):1988 ~ 1991.
 - 郎文辉,袁宇,诸葛斌. 序列解剖层片的全局和局部色彩校正. ZS, **26**(2):250 ~ 253.
 - 李杰,彭静,朱维乐. 基于二次规划的 2D FIR 滤波器设计. DC, **21**(5):69 ~ 72.
 - 李军侠,水鹏朗,郑勇. 小波变换实现图像导向滤波. Dxx, **29**(11):2657 ~ 2660.
 - 李军侠,水鹏朗. 基于广义高斯最大似然估计的小波域类 LMMSE 滤波算法. Dxx, **29**(12):2853 ~ 2857.
 - 李均利,侯艳芹,魏平等. 一种基于模糊均差和小波变换的医学图像去噪方法. ZS, **26**(3):342 ~ 348.
 - 李庆,刘上乾,王炳健. 基于 RLS 的红外焦平面器件非均匀性校正算法. DC, **21**(2):6 ~ 9.
 - 李少达,杨佳,刘汉湖等. 一种改进的自适应模糊图像增强方法. ZTu, **12**(8):1339 ~ 1343.
 - 刘浩,刘春,胡存刚. 混合滤波器在玻璃瓶缺陷检测中的应用. DC, **21**(3):88 ~ 91.
 - 刘堂友,董爱华. 精确校正图像的径向畸变和倾斜失真. ZTu, **12**(10):1935 ~ 1938.
 - 刘亚东,胡德文,周宗潭等. 功能磁共振数据结构性噪声分析. DX, **35**(10):1954 ~ 1960.
 - 刘英霞,王欣. 双 Haar 小波变换系数的 MAP 估计及在图像去噪中的应用. Dxx, **29**(5):1038 ~ 1040.
 - 刘云霞,彭玉华,孟庆芳等. 一种基于角度的正交 FRIT 变换及其在图像去噪中的应用. DX, **35**(1):40 ~ 43.
 - 孟晋丽,潘泉,张洪才. 基于相邻尺度积系数的半软阈值小波滤波. Dxx, **29**(7):1649 ~ 1652.
 - 倪超,李奇,夏良正. 基于小波前向后向扩散的红外图像降噪与边缘增强算法. Dxx, **29**(9):2033 ~ 2037.
 - 潘晴,严国萍,张玉宽. 一种新的基于区域角度搜索的各向异性高通滤波算法. ZTu, **12**(9):1549 ~ 1554.
 - 彭宏京,侯文秀. 基于各向异性扩散偏微分方程的图像去模糊. XC, **23**(5):714 ~ 717.
 - 沙秋夫,刘向东,何希勤等. 一种基于粒子群算法的色彩量化方案. ZTu, **12**(9):1544 ~ 1548.
 - 邵文泽,韦志辉. 数字双边全变差滤波及非线性去噪. ZTu, **12**(7):1178 ~ 1184.
 - 邵文泽,韦志辉. 一种非线性数字滤波器的统一设计框架及其性能分析. JX, **30**(1):91 ~ 102.
 - 沈项军,汪增福. 一种基于视觉感知的色彩量化算法. MR, **20**(6):821 ~ 826.
 - 石林锁,成浩. 基于稀疏码收缩的图像去噪. XC, **23**(5):742 ~ 746.
 - 史渊,潘振宽,魏伟波. 非线性扩散和变分模型在矢量图像

- 去噪中的应用. ZTu, **12**(12):2101~2104.
- 宋锦萍, 宋玲珍, 杨晓艺等. 一种基于小波变换的图像消噪算法. Dxx, **29**(1):43~46.
 - 宋宇, 李满天, 孙立宁. 基于相似度函数的图像椒盐噪声自适应滤除算法. ZX, **33**(5):474~479.
 - 孙冬, 明军, 吴先良. 基于小波域分形编码的图像插值. ZTu, **12**(12):2063~2067.
 - 孙晓丽, 宋国乡, 冯象初. 基于噪声-纹理检测算子的图像去噪方法. DX, **35**(7):1372~1375.
 - 王博, 潘泉. 基于相关度量的高椒盐噪声软阈值直方图滤波算法. DX, **35**(7):1347~1351.
 - 王萍, 程号, 罗颖昕. 基于色调不变的彩色图像增强. ZTu, **12**(7):1173~1177.
 - 王涛, 高新波, 张都应. 一种基于内容的图像质量评价测度. ZTu, **12**(6):1002~1007.
 - 王亚涛, 董兰芳, 倪奎. 基于 Biharmonic 样条插值的图像渐变算法及实现. ZTu, **12**(12):2189~2194.
 - 王正友, 伍世虔, 徐升华等. 一种离焦模糊图像客观检测的新方法. ZTu, **12**(6):1008~1013.
 - 王志鹏, 张桂戎. 基于分组行进算法的图像修补方法. ZTu, **12**(5):799~804.
 - 王智峰, 张志佳, 李小毛等. 基于 SVD 和能量最小原则的图像自适应降噪算法. ZTu, **12**(4):603~607.
 - 吴亚东, 孙世新, 张红英等. 一种基于图割的全变差图像去噪算法. DX, **35**(2):265~268.
 - 仵冀颖, 阮秋琦. 偏微分方程约束的基于模块的图像修复模型. ZTu, **12**(11):1980~1987.
 - 夏君君, 倪林, Y MIAO. 适用于尺寸为 2 的幂次方图像的离散 ridgelet 变换. Dxx, **29**(2):421~424.
 - 徐刚锋, 马琳茹, 沈振康. 图像弯曲的自适应校正. XC, **23**(4):626~629.
 - 杨春玲, 陈冠豪, 谢胜利. 基于梯度信息的图像质量评判方法的研究. DX, **35**(7):1313~1317.
 - 杨磊, 冯茜, 王志刚. 基于残差点的干涉相位图自适应滤波. ZTu, **12**(11):1976~1979.
 - 杨晓慧, 金海燕, 焦李成. 基于广义交叉验证和 Cycle Spinning 的 SAR 图像相干斑抑制. Dxx, **29**(8):1779~1783.
 - 叶佳, 张建秋, 胡波. 客观评估彩色图像质量的超复数奇异值分解法. DX, **35**(1):28~33.
 - 尹海沧, 薛斌党, 姜志国. 一种视频编码中去低照度噪声方法. ZTi, **12**(1):23~27.
 - 应骏, 袁豪磊, 李莉. 手机文字识别中的暗角修正技术. ZTu, **12**(10):1853~1856.
 - 袁世强, 谭永红. 基于上下中值型噪声检测的自适应中值滤波器. ZTu, **12**(11):1971~1975.
 - 袁世强, 谭永红. 中子集型自适应中值滤波器. ZTu, **12**(4):608~612.
 - 张红英, 彭启琮. 数字图像修复技术综述. ZTu, **12**(1):1~10.
 - 张丽芳, 周军. 利用多曝光对图像进行动态范围增强. SC, **22**(4):417~422.
 - 赵佰秋, 黄凤岗, 唐立群. 用小波系数估计图像边缘方向的相干增强扩散图像降噪算法. ZTu, **12**(12):2096~2100.
 - 赵一凡, 夏良正, 李久贤. 一种自适应小波域图像降噪方法. XC, **23**(6):810~813.
 - 赵志刚, 万娇娜, 管聪慧. 基于小波包变换与自适应阈值的图像去噪. ZTu, **12**(6):977~980.
 - 周芳. 新软阈值去噪方法在临场感中的应用. DC, **21**(1):111~114.
 - 周伟华, 王鑫, 罗斌. 基于双树复小波变换的相位保持 SAR 图像降噪. ZTu, **12**(5):805~810.
 - 朱锡芳, 吴峰, 庄燕滨. 基于 Mallat 算法遥感图像去云雾处理的改进方法. YX, **11**(2):241~246.
- A4: 图像(视频)压缩编码(54 篇)**
- 陈纯, 杨智, 卜佳俊等. 一种基于 H. 264 的可变块快速运动估计算法. ZTu, **12**(2):272~276.
 - 陈倩, 高新波. 符合 H. 264 标准的一种基于内容的变尺寸宏块分割方法. ZTu, **12**(3):420~426.
 - 陈作平, 叶正麟, 郑红婵等. 基于 K 均值聚类的快速分形编码方法. ZTu, **12**(4):586~591.
 - 方志军, 李润午, 韦礼珍等. 基于多小波的 SPIHT 改进算法. ZTu, **12**(10):1790~1793.
 - 房胜, 梁永全, 钟玉琢. 一种基于小波域规则三角形网格运动补偿的可扩展视频编码方法. ZTu, **12**(1):21~26.
 - 冯登超, 杨兆选. 基于小波包最优基的图像压缩算法研究. DC, **21**(3):20~22.
 - 冯燕, 何明一, 宋江红等. 基于独立成分分析的高光谱图像数据降维及压缩. Dxx, **29**(12):2871~2875.
 - 干宗良, 齐丽娜, 朱秀昌. 一种空间域 Wyner-Ziv 视频编码系统的性能改进算法. DX, **35**(10):2014~2018.
 - 干宗良, 朱秀昌. 分布式视频编码技术的研究现状及其展望. XC, **23**(1):73~78.
 - 干宗良, 朱秀昌. 基于 H. 264 多参考帧的运动搜索快速算法. TX, **28**(1):17~21.
 - 龚声蓉, 郭丽, 韩军等. 基于全局运动补偿编码的 AVS 编码器设计. TX, **28**(10):102~108.
 - 郭丽, 龚声蓉, 崔志明. 一种快速全局运动估计算法. ZTu, **12**(12):2119~2126.
 - 韩青, 李莉, 应骏. H. 264 帧内 4 × 4 块预测模式选择快速算法研究. ZTu, **12**(10):1745~1748.
 - 何传江, 黄娟娟, 李高平. 基于分数盒维数的快速分形图像编码. ZTu, **12**(2):277~282.
 - 何传江, 申小娜. 改进分形图像编码的叉迹算法. JX, **30**(12):2156~2163.

- 侯正信,高志云,杨爱萍.一种基于全相位余弦双正交变换的 JPEG 算法. ZTu,12(11):2012~2017.
 - 侯正信,王成优,杨爱萍等.全相位沃尔什双正交变换及其在图像压缩中的应用. DX,35(7):1376~1381.
 - 黄菁,朱日宏,李建欣.改进的快速算术编码及其在图像编码中的应用. ZTu,12(7):1194~1200.
 - 计文平,沈兰荪.基于 Mojette 变换的多描述编码. DX,35(3):526~529.
 - 纪雯,史浩山.基于模糊综合评判的客观视频评价模型. ZTu,12(11):2006~2011.
 - 纪震,廖惠连,许文焕等.粒子对算法在图像矢量量化中的应用. DX,35(10):1916~1920.
 - 蒋刚毅,张云,郁梅.基于相关性分析的多模式多视点视频编码. JX,30(12):2205~2211.
 - 焦卫东,卢朝阳,何华君等.基于 Delaunay 三角形网络的彩色视频帧间编码方法. TX,28(9):119~124.
 - 乐培玉,张太镒,王洁.一种基于概率矩阵的快速运动估计算法. ZTu,12(1):32~36.
 - 黎洪松,许保华.一种用于视频对象编码的运动模式识别算法. DX,35(12):2324~2328.
 - 李高平,雷开彬.缩减码书的快速分形图像编码算法. ZTu,12(3):427~431.
 - 连静,王珂,曹丽丹.具有边缘保持特性的嵌入式图像压缩算法. ZTu,12(4):592~596.
 - 刘在德,郑南宁,刘跃虎等.17/11 双正交小波的优化设计及其对图像压缩性能的分析. DxX,29(6):1403~1407.
 - 尚书林,杜清秀,卢汉清等.视频转码技术研究现状与最新进展. ZX,33(12):1233~1241.
 - 余青山,苏宏业,张英等.一种基于数据域描述的图像压缩方法. MR,20(5):643~648.
 - 宋彬,常义林,李春林.H.264 帧间预测模式的快速选择算法. DX,35(4):697~700.
 - 宋建斌,李波,李炜等.基于模式和时空相关性的运动估计快速算法. DX,35(10):1823~1827.
 - 宋建斌,李波,李炜等.适用于 H.264/AVC 的快速帧内预测算法. DX,35(4):668~672.
 - 苏睿,刘贵忠,张彤宇等.利用变换域信息快速实现 H.264 帧内预测编码的新算法. DxX,29(1):161~166.
 - 孙蕾,罗建书.基于多波段谱间预测的高光谱图像无损压缩算法. DxX,29(12):2876~2879.
 - 万帅,常义林,杨付正等.一种新的视频编码二次率失真模型及其性能分析. DxX,29(5):1136~1139.
 - 王蕾睿,沈礼权,张兆扬.一种基于 AVS 视频编码的快速帧间预测模式选择算法. ZTu,12(10):1794~1797.
 - 王向阳,左珂可.低比特率混合域图像压缩编码算法研究. ZTu,12(11):2000~2005.
 - 王翔,谢廷俊,陆建华.一种二进制算术码的软解码算法. DX,35(2):283~286.
 - 王毅,李厚强,孙晓艳等.一种针对 MPEG-4 AVC/H.264 的用于快速码流生成的运动信息描述算法. JX,30(6):1005~1013.
 - 文振,张基宏,孙立峰.基于帧内区域的细粒度可扩展视频编码最优码率分配算法. DX,35(4):761~765.
 - 夏平,向学军,吉培荣.基于自适应提升方案的低比特率图像压缩编码. ZTu,12(12):2068~2071.
 - 谢翔,李国林,王志华.用于无线内窥镜系统的高效、低复杂度的准无损和无损压缩算法. DxX,29(3):616~621.
 - 熊聪,余松煜,宋利等.H.264 兼容的全景视频编码方法. ZTu,12(10):1832~1836.
 - 于明,曲昕,郭迎春等.一种基于冗余小波变换的 DT 网格运动估计和运动补偿方法. ZTu,12(12):2072~2079.
 - 喻莉,戴锐,金欣等.视频编码中算术编码的二进制化研究. ZTu,12(9):1515~1519.
 - 曾焕强,蔡灿辉.H.264/AVC 快速帧内预测模式选择算法. ZTu,12(2):189~194.
 - 张磊,涂国防.一种新型小波域运动估计算法. DxX,29(5):1131~1135.
 - 张楠,吕岩,吴枫等.基于方向提升小波变换的多描述图像编码. ZX,33(6):567~576.
 - 章伟明,徐元欣,王匡.基于线性预测的半像素运动估计. ZTu,12(1):27~31.
 - 郑振东,王沛,应骏.H.264 JM 模型中运动估计算法及改进方案. ZTu,12(10):1798~1801.
 - 周晨光,邱祖廉.一种改进的紧凑遗传算法及其在分形图像压缩中的应用. ZTu,12(4):597~602.
 - 周城,谭毅华,田金文等.一种基于 AVS 的亚像素快速运动估计算法. ZTu,12(9):1520~1524.
 - 朱红,吴成柯,方勇.基于视觉感知片组的多描述视频编码. JX,30(5):861~868.
- A5:图像数字水印和图像信息隐藏(71篇)**
- 包先雨,蒋建国,袁炜等.H.264/AVC 标准中基于 CABAC 的数字视频加密研究. TX,28(6):24~29.
 - 车生兵,黄达,李光.基于视觉特性的半脆弱水印算法. TX,28(10):134~140.
 - 陈琼,伍祥生,刘飞.基于分块奇异值分解的盲水印技术. ZTu,12(9):1558~1561.
 - 陈帅,钟先信,石军锋等.基于离散数字混沌序列的图像加密. DxX,29(4):898~900.
 - 陈燕梅,张胜元.基于交叉熵的数字图像置乱程度评价方法. ZTu,12(6):997~1001.
 - 戴侃斐,陈真勇,唐龙.基于运动矢量的抗几何攻击视频水印方案. ZTu,12(9):1682~1687.
 - 党杰,林秋华,殷福亮.基于盲源分离的多幅顺序图像加密方法. DxX,29(6):1471~1475.

- 丁文霞, 卢焕章, 王浩等. 基于混沌的快速格雷码分段置乱视频加密算法. TX, **28**(9):34~39.
- 杜高峰, 王慧琴, 白梅. 基于关系的 DCT 域盲水印算法. ZTu, **12**(11):2026~2030.
- 韩亚丹, 闫德勤. 一种基于特征的抗剪裁盲水印算法. ZTu, **12**(4):574~580.
- 郝红杰, 吴一全. 基于 Kraw tchouk 矩和小波变换的数字水印算法. SC, **22**(3):321~325.
- 和红杰, 陈帆. 自嵌入水印算法的安全性分析. DX, **35**(3):557~562.
- 侯会满, 张荣, 李卫海等. 基于匹配追逐的视频压缩加密方案. ZTu, **12**(5):831~835.
- 霍智勇, 朱秀昌. 基于 LDPC 码的数字图像水印技术研究. ZTu, **12**(11):2018~2025.
- 蒋建国, 李援, 梁立伟. H. 264 视频加密算法的研究及改进. DX, **35**(9):1724~1727.
- 金聪, 叶俊民, 许凯华等. 具有抗几何攻击能力的盲数字图像水印算法. JX, **30**(3):474~482.
- 孔令军, 肖扬. 基于 LDPC 码的数字图像水印算法研究. XC, **23**(4):634~636.
- 兰红星, 陈松乔, 胡爱娜等. 基于小波域的第二代数字水印算法的研究. DX, **35**(9):1799~1803.
- 李翠彦, 高飞. 一种基于超混沌 M-G 系统的图像加密算法. XC, **23**(6):896~899.
- 李大勇, 曹振新, 吴乐南. 一种特定条件下的超分辨率重建快速算法及其实现. XC, **23**(5):722~724.
- 李金龙, 杨守义, 穆晓敏. 基于参数自适应的 ISS 盲水印算法. ZTu, **12**(6):991~996.
- 李晟, 张新鹏, 王朔中. 基于可容忍失真范围的数字图像隐写方法研究. ZTu, **12**(2):212~217.
- 李新娥, 王珂, 崔艳秋. 基于小波包变换和离散余弦变换的双水印算法. ZTu, **12**(1):61~67.
- 刘家胜, 黄贤武, 朱灿灿等. 基于 m 序列变换和混沌映射的图像加密算法. DxX, **29**(6):1476~1479.
- 刘劲, 康志伟, 何怡刚. 一种基于小波对比度和 LSB 的密写. DX, **35**(7):1391~1393.
- 刘泉, 江雪梅. 用于图像篡改定位和恢复的分层半脆弱数字水印算法. TX, **28**(7):104~110.
- 楼偶俊, 王相海. 一种基于 PSNR 的迭加量化公开水印算法. ZTu, **12**(8):1333~1338.
- 罗向阳, 陆佩忠, 刘粉林. 一类可抵御 SPA 分析的动态补偿 LSB 信息隐藏方法. JX, **30**(3):463~473.
- 骆伟祺, 黄继武, 丘国平. 鲁棒的区域复制图像篡改检测技术. JX, **30**(11):1998~2007.
- 马建湖, 何甲兴. 基于小波变换的零水印算法. ZTu, **12**(4):581~585.
- 牛盼盼, 杨红颖, 邹俊等. 基于归一化图像重要区域的数字水印方法. ZTu, **12**(10):1774~1777.
- 钱莉, 刘文予, 张帆. 一种基于 DCT 域特征块的抗几何攻击的视频水印. ZTu, **12**(5):819~825.
- 秦娜, 张贵仓, 魏伟一. 一种在图像中嵌入有意义文本信息的新型鲁棒水印算法. ZTu, **12**(2):195~199.
- 桑茂栋, 赵耀. 基于几何矩的抵抗 RST 攻击的数字图像水印. DxX, **29**(1):76~80.
- 邵利平, 覃征, 高洪江等. 二维非等长图像置乱变换. DX, **35**(7):1290~1294.
- 孙锐, 蒋建国. 一种基于图像特征的稳健水印算法. DC, **21**(4):16~20.
- 孙阳, 刘晓峰, 王常杰等. 基于 3 维立体技术的视觉加密. ZTu, **12**(10):1786~1789.
- 汤仁义, 张永福, 苏锦海. 基于互补矩阵数据隐藏算法研究. TX, **28**(11):38~43.
- 田岩, 谢玉波, 李涛等. 一种基于分块和混沌网的图像置乱方法. ZTu, **12**(1):56~60.
- 汪太月, 李宏伟, 王志华. 基于广义高斯分布的水印信号检测. SC, **22**(2):166~171.
- 王春桃, 倪江群, 黄继武等. 基于内容自适应的优化 DWT-HMM 顽健图像水印算法. TX, **28**(2):80~87.
- 王刚, 饶妮妮. 小波变换中边界问题对水印算法性能影响的研究. JX, **30**(10):1872~1879.
- 王国栋, 刘粉林, 汪洋等. 一种篡改检测与篡改定位分离的图像认证方案. JX, **30**(10):1880~1888.
- 王科俊, 袁智. 基于小波矩融合 PCA 变换的手指静脉识别. MR, **20**(5):692~697.
- 王贤敏, 王乘, 周建中等. 遥感影像中多个机密信息的授权使用技术. ZTu, **12**(9):1568~1578.
- 王向阳, 陈利科. 一种新的自适应半脆弱水印算法. ZX, **33**(4):361~366.
- 王向阳, 邹俊, 侯丽敏. 一种基于图像特征点的数字水印嵌入方法. DX, **35**(7):1318~1322.
- 王向阳, 杨红颖, 侯丽敏. 一种新的半脆弱彩色图像数字水印算法. ZX, **33**(6):561~566.
- 王勋, 凌云. 一种子块相关的半脆弱数字水印. ZTu, **12**(5):826~830.
- 吴晓云, 刘红梅, 黄继武. 结合 Zernike 矩和水印的半脆弱图像认证. ZX, **33**(2):145~150.
- 肖俊, 王颖, 李象霖. 带失真补偿的抖动调制水印算法中的补偿因子研究. DX, **35**(4):786~790.
- 谢于明, 程义民, 汪云路等. 基于整数线性变换的无损隐秘传输方法. ZTu, **12**(9):1562~1567.
- 易枫, 王道顺, 罗平等. 两种新的彩色图像 (n, n) 分存方案. TX, **28**(5):30~35.
- 于秋则, 朱光喜, 柳健等. 基于小波域统计建模及显著性修正的 SAR 图像相干斑抑制. DxX, **29**(3):513~516.

- 詹双环,张鸿宾.基于小波分解和方差分析的图像信息隐藏盲检测. *DxX*,**29**(6):1460~1463.
 - 张建龙,吴成柯,高新波.一种基于双域拉格朗日插值的视频错误隐藏方法. *DX*,**35**(4):653~658.
 - 张建伟,鲍政,王顺风.图像小波域分块奇异值分解的自适应水印方案. *ZTu*,**12**(5):811~818.
 - 张瑾,方勇.基于分块 Contourlet 变换的图像独立分量分析方法. *DxX*,**29**(8):1813~1816.
 - 张力,钱恭斌,肖薇薇等.基于双通道检测的多比特盲水印最优检测器的设计. *DxX*,**29**(7):1717~1721.
 - 张力,肖薇薇,纪震.基于秘密共享和高阶谱的仿射不变性水印算法. *MR*,**20**(4):533~537.
 - 张力,肖薇薇,钱恭斌等.基于 Krawtchouk 不变矩的仿射攻击不变性局部水印算法. *DX*,**35**(7):1403~1408.
 - 张良,刘宏,吴仁彪等. JPEG2000 小波域隐写算法. *XC*,**23**(1):27~30.
 - 张琼,沈民奋,翟懿奎.基于三维混沌猫映射的数字图像加密算法. *SC*,**22**(3):292~298.
 - 张荣,朱智超,尹东等.基于零树的视频压缩加密联合编码方案. *TX*,**28**(6):111~116.
 - 张卫明,李世取,刘九芬.对空域图像 LSB 隐写术的提取攻击. *JX*,**30**(9):1625~1631.
 - 张文聪,叶学义,李斌等.一种非理想采集条件下的虹膜定位算法. *MR*,**20**(5):675~680.
 - 张宪海,杨永田.基于脆弱水印的图像认证算法研究. *DX*,**35**(1):34~39.
 - 张贞凯,于凤芹,李从宏.一种基于 chirp 信号的空间域鲁棒性水印算法. *XC*,**23**(4):630~633.
 - 张志禹,于海燕,张九龙等.一种基于脊波域的盲检数字水印算法. *DX*,**35**(9):1804~1808.
 - 郑海红,王义峰,曾平等.鲁棒的半色调图像水印综述. *ZTu*,**12**(5):782~788.
 - 朱仲杰,王玉儿,蒋刚毅等.面向立体视频的自适应数字水印算法. *ZTu*,**12**(1):68~72.
- A6: 图像多分辨率处理 (25 篇)**
- 白键,冯象初.基于曲线波变换的图像分解. *DX*,**35**(1):123~126.
 - 杜耀刚,蔡安妮.高效的 DCT 域图像任意比率下采样方法. *TX*,**28**(7):123~128.
 - 付树军,阮秋琦,穆成坡等.基于双向耦合扩散的自适应图像插值. *TX*,**28**(2):29~32.
 - 韩玉兵,束锋,孙锦涛等.基于 MG-CG 算法的图像超分辨率重建. *DX*,**35**(7):1394~1397.
 - 韩玉兵,束锋,孙锦涛等.基于 MG-GMRES 算法的图像超分辨率重建. *JX*,**30**(6):1028~1034.
 - 韩玉兵,吴乐南,张冬青.基于正则化处理的超分辨率重建. *DxX*,**29**(7):1713~1716.
 - 何宇清,侯正信.基于全相位沃尔什内插核的图像插值. *ZTu*,**12**(10):1865~1868.
 - 黄婧,李金宗.基于全局运动模型配准的图像超分辨率重建. *ZTu*,**12**(8):1354~1358.
 - 姜东焕,宋国乡.基于修正小波阈值的图像变分分解. *DxX*,**29**(5):1035~1037.
 - 刘代志,钱昌松,黄世奇等.索引算法及其在图像多尺度变换中的应用. *ZTu*,**12**(2):218~221.
 - 刘怀宇,蒋冰,王晓阳等. DCT 域中任意比例的图像上下采样算法. *ZX*,**33**(5):488~493.
 - 刘森,曹汉强,李旭涛等.基于运动估计误差和边缘约束的超分辨率重构. *ZTu*,**12**(7):1168~1172.
 - 乔建苹,刘璐.基于支撑向量机的盲超分辨率图像复原算法. *DX*,**35**(10):1927~1933.
 - 王文,芮国胜,王晓东等.图像多尺度统计模型综述. *ZTu*,**12**(6):961~969.
 - 徐忠强,朱秀昌.压缩视频超分辨率重建技术. *DxX*,**29**(2):499~505.
 - 闫华,刘璐.考虑亚像素配准误差的超分辨率图像复原. *DX*,**35**(7):1409~1413.
 - 杨浩,高建坡,吴镇扬.基于双正则化的图像超分辨率盲重建. *ZTu*,**12**(12):2057~2062.
 - 杨明,尹勇,彭玉华等. Beamlet 变换与多尺度线特征提取. *DX*,**35**(1):100~103.
 - 殷学民,袁建华,邹谋炎.基于棱边方向检测与运动补偿的视频去隔行算法. *SC*,**22**(1):59~66.
 - 禹晶,苏开娜,肖创柏.一种改替超分辨率图像重建中边缘质量的方法. *ZX*,**33**(6):577~582.
 - 禹晶,苏开娜.块运动估计的研究进展. *ZTu*,**12**(12):2031~2041.
 - 袁建华,殷学民,邹谋炎.一种用于图像超分辨的实时高精度像素内配准方法. *DxX*,**29**(1):47~49.
 - 周国瑞,孙世新,王文江.结合 Bayer 模式与局部相关模型的 Demosaicing 算法. *JX*,**30**(7):1179~1185.
 - 周昊,王斌,张立明.改进的非负独立分量分析法. *SC*,**22**(1):54~58.
 - 朱翔,袁杰,都思丹.基于 JPEG 序列的图像重建. *DxX*,**29**(8):1841~1844.
- B: 图像分析 (共 237 篇)**
- B1: 图像分割和边缘检测 (90 篇)**
- 白相志,周付根.基于改进形态学算子的多尺度边缘检测. *ZTu*,**12**(9):1610~1613.
 - 薄华,马缚龙,焦李成.基于免疫算法的 SAR 图像分割方法研究. *DxX*,**29**(2):375~378.
 - 陈波,赖剑煌,马建华.一种耦合的活动轮廓模型及其在图像分割中的应用. *ZTu*,**12**(3):444~449.

- 陈波, 赖剑煌. 用于图像分割的活动轮廓模型综述. ZTu, **12**(1): 11 ~ 20.
- 陈姝, 邹北骥, 彭小宁等. 应用粒子滤波及先验概率模型进行图像分割的新算法. DX, **35**(8): 1533 ~ 1537.
- 陈运文, 许存禄. 分割彩色纹理图像的多通道统计地形特征方法. MR, **20**(6): 782 ~ 787.
- 成功, 赵巍, 毛士艺. 双阈值 CFAR SAR 目标分割方法. XC, **23**(1): 10 ~ 14.
- 褚一平, 张引, 叶修梓等. 基于隐条件随机场的自适应视频分割算法. ZX, **33**(12): 1252 ~ 1258.
- 戴光照, 张荣. 高分辨率 SAR 图像中的桥梁识别方法研究. YX, **11**(2): 177 ~ 184.
- 董海艳, 王惠南, 李虹. 基于血管内超声图像序列的相角配准与边缘检测. ZTu, **12**(6): 1048 ~ 1054.
- 董育宁, 陈晞, 杜超. 智能肝肿瘤 CT 图像分割. ZS, **26**(4): 541 ~ 550.
- 杜亚勤, 郭雷, 高世伟. 基于模糊集的图像边缘检测算法. DC, **21**(6): 22 ~ 24.
- 范国娟, 尹义龙. 一种新的残留指纹图像分割方法. ZTu, **12**(10): 1893 ~ 1896.
- 范九伦, 赵凤, 张雪峰. 三维 Otsu 阈值分割方法的递推算算法. DX, **35**(7): 1398 ~ 1402.
- 范九伦, 赵凤. 灰度图像的二维 Otsu 曲线阈值分割法. DX, **35**(4): 751 ~ 755.
- 冯涛, 方建安, 刘其真. 基于三角级数的直方图拟合多目标图像分割. ZTu, **12**(10): 1849 ~ 1852.
- 高丽, 杨树元, 李海强. 一种基于标记的分水岭图像分割新算法. ZTu, **12**(6): 1025 ~ 1032.
- 宫廷新, 孙丰荣, 刘泽等. 基于血液斑点噪声抑制和 T-Snake 模型的血管内超声图像边缘提取. ZTu, **12**(4): 655 ~ 660.
- 龚永义, 罗笑南, 黄辉等. 基于单水平集的多目标轮廓提取. JX, **30**(1): 120 ~ 128.
- 郭磊, 武优西, 刘雪娜等. 基于主成份分析和支持向量机的 MRI 图像多目标分割. ZS, **26**(4): 498 ~ 502.
- 侯一民, 郭雷. 一种基于马尔可夫随机场的 SAR 图像分割新方法. DxX, **29**(5): 1069 ~ 1072.
- 胡正磊, 孙进平, 袁运能等. 基于小波边缘提取和脊线跟踪技术的 SAR 图像河流检测算法. DxX, **29**(3): 524 ~ 527.
- 黄辉, 关履泰, 龚永义等. 可变形带洞形状表示与检测. ZTu, **12**(11): 2073 ~ 2080.
- 贾承丽, 匡纲要. 一种改进的 SAR 图像边缘检测方法. DxX, **29**(2): 379 ~ 382.
- 蒋爱平, 杨悦华, 杨兴全. 基于多重加权法的多重分形图像分割研究. ZTu, **12**(10): 1889 ~ 1892.
- 瞿洋, 江朝晖, 冯焕清. 一种基于扫描线和区域生长的行车偏移检测算法. ZTu, **12**(1): 104 ~ 109.
- 匡平, 朱清新, 陈旭东. 一种基于最小特征根分析的直线检测算法. DC, **21**(3): 33 ~ 38.
- 李春明, 李玉山, 张大朴等. 基于 PCA/Snake 混合模型的运动目标外轮廓求解. MR, **20**(3): 313 ~ 318.
- 李仁杰, 余松煜. 运动目标的自动空时分割算法. ZTu, **12**(10): 1931 ~ 1934.
- 李旭超, 朱善安, 朱胜利. 基于小波域层次 Markov 模型的图像分割. ZTu, **12**(2): 308 ~ 314.
- 李旭超, 朱善安. 图像分割中的马尔可夫随机场方法综述. ZTu, **12**(5): 789 ~ 798.
- 刘方青, 石旭利, 张兆扬. 基于 EM 聚类的 H. 264 压缩域视频对象实时分割算法. ZTu, **12**(10): 1819 ~ 1822.
- 刘国才, 王绍南. 多层 Mumford-Shah 向量值图像分割、去噪与重建模型. ZX, **33**(6): 602 ~ 607.
- 刘海华, 陈心浩, 高智勇等. 基于形态学操作和模糊聚类技术的超声图像分割. DX, **35**(7): 1306 ~ 1312.
- 刘龙, 韩崇昭, 刘丁等. 一种新的基于吉布斯随机场的视频运动对象分割算法. ZX, **33**(6): 608 ~ 614.
- 马江洪, 葛咏. 图像线状模式的有限混合模型及其 EM 算法. JX, **30**(2): 288 ~ 296.
- 倪超, 李奇, 夏良正. 粘连棒材图像自动分割计数技术. SC, **22**(1): 72 ~ 77.
- 潘喆, 吴一全. 二维 Renyi 熵图像阈值选取快速递推算算法. ZTi, **12**(2): 93 ~ 97.
- 彭进业, 郝重阳, 齐华等. 基于多尺度梯度矢量场 GAC 模型的 MR 医学图像分割. ZTu, **12**(7): 1214 ~ 1217.
- 秦安, 冯前进, 陈武凡. 知识引导几何动态轮廓线算法与 MR 心脏序列图像鲁棒分割. ZS, **26**(2): 244 ~ 249.
- 屈庆春, 彭玉华, 杨明强. 基于 Beamlet 变换的线特征检测. ZTu, **12**(3): 500 ~ 504.
- 邵平, 杨路明. 基于模板分解和积分图像的快速 Kirsch 边缘检测. ZX, **33**(8): 795 ~ 800.
- 沈项军, 汪增福. 一种基于色彩和纹理分析的图像分割算法. MR, **20**(2): 241 ~ 247.
- 宋锦萍, 侯玉华, 杨晓艺等. 基于小波域多状态隐马尔科夫树模型的自适应文本图像分割算法. DX, **35**(1): 118 ~ 122.
- 孙晓兰, 赵慧洁. 基于网格采样的深度图像表面特征提取算法. ZTu, **12**(6): 1091 ~ 1097.
- 唐志峰, 王诗俊, 杨树元. 一种高精度的压缩域视频目标分割算法. DxX, **29**(12): 2965 ~ 2969.
- 陶文兵, 金海. 一种新的基于图谱理论的图像阈值分割方法. JX, **30**(1): 110 ~ 119.
- 田宏阳, 陈辉, 马文静. 一种动态场景下基于时空信息的视频对象提取算法. ZTu, **12**(9): 1653 ~ 1658.
- 童莹, 邱晓晖, 宋家禾. 二维 Fisher 准则函数在区域生长算法中的应用. XC, **23**(2): 239 ~ 244.

- 汪慧兰,陈思宝,罗斌.基于t混合模型和 Greedy EM 算法的彩色图像分割. ZTu, **12**(5):882~887.
 - 汪凯斌,俞卞章,赵健等.基于 Gabor 小波的无边缘活动围道纹理分割方法. DxX, **29**(12):2819~2821.
 - 王莉莉,杨跃东,高玉健.基于多子空间 KL 变换的纹理图像自监督分割方法. ZTu, **12**(9):1614~1620.
 - 王晓年,冯祖仁,张苗.相变热图序列中等温线的自动提取. MR, **20**(4):469~477.
 - 王学军,丁红涛,陈贺新.一种基于镜头聚类的视频场景分割方法. ZTu, **12**(12):2127~2131.
 - 王玉成,胡德文,刘亚东等.基于频谱特征的脑皮层动静脉分离. DX, **35**(1):44~48.
 - 王煜坚,高建坡,吴镇扬.网格运动分析与形态学滤波相结合的视频对象分割. TX, **28**(8):76~86.
 - 王煜坚,高建坡,吴镇扬.一种基于形态学滤波的视频对象空间分割新策略. ZTu, **12**(6):1018~1024.
 - 王元全,贾云得.一种新的心脏核磁共振图像分割方法. JX, **30**(1):129~136.
 - 王玥玥,王秋光.基于图像边缘信息的2维阈值分割方法. ZTu, **12**(1):78~81.
 - 危辉,刘斌.一种基于3-像素基元组合的直线描述与检测方法. MR, **20**(4):439~449.
 - 卫宝泉,张良培,李平湘.一种基于 agent 随机扩散的图像分割方法. ZTu, **12**(12):2113~2118.
 - 文山,李葆青.基于小波分层的多方向图像边缘检测. ZX, **33**(5):480~487.
 - 沃焱,韩国强,张见威.基于自适应预处理的图像分割方法. DxX, **29**(1):87~91.
 - 吴成茂.一种基于包含度理论的图像分割方法. MR, **20**(6):805~814.
 - 吴一全,吴文怡,潘喆.二维最大类间方差阈值分割的快速迭代算法. ZTi, **12**(3):216~220.
 - 吴永辉,计科峰,李禹等.基于 Wishart 分布和 MRF 的多视全极化 SAR 图像分割. DX, **35**(12):2302~2306.
 - 肖鹏峰,冯学智,赵书河等.基于相位一致的高分辨率遥感图像分割方法. CX, **36**(2):146~151.
 - 肖鹏峰,冯学智,赵书河等.一种基于相位一致的高分辨率遥感图像特征检测方法. YX, **11**(3):303~310.
 - 谢凤英,姜志国.基于最大方差的免疫细胞图像双阈值分割. ZTi, **12**(1):59~61.
 - 谢昭,高隽.基于视觉统计概率模型的目标定位. ZTu, **12**(7):1234~1242.
 - 徐剑峰,刘志,张兆杨.基于熵模型的压缩域运动对象检测. ZTu, **12**(10):1815~1818.
 - 杨高波,张兆扬. MPEG-4 框架下的视频对象分割及其关键技术分析. TX, **28**(10):109~122.
 - 杨润玲,高新波.基于加权模糊 C 均值聚类的快速图像自动分割算法. ZTu, **12**(12):2105~2112.
 - 应伟勤,李元香,徐星等.基于图模型的图像分割并行算法研究与实现. MR, **20**(4):571~576.
 - 尤建洁,王平安,夏德深.利用纹理信息的带标记线心脏核磁共振图像分割. ZTu, **12**(9):1621~1626.
 - 于林森,张田文.一种结合位信息的混合模型图像分割方法. XC, **23**(3):411~414.
 - 原春锋,王传旭,张祥光等.光照突变环境下基于高斯混合模型和梯度信息的视频分割. ZTu, **12**(11):2068~2072.
 - 张晶,张权,王欣.一种新的强鲁棒性的边缘检测方法. XC, **23**(3):455~459.
 - 张石,王军辉,董建威等.医学显微图像分割方法研究进展. ZS, **26**(4):623~629.
 - 张小洪,李博,杨丹.一种新的 Harris 多尺度角点检测. DxX, **29**(7):1735~1738.
 - 张晓燕,赵荣椿,马志强.基于改进活动轮廓的视频对象自动分割及跟踪算法. ZTu, **12**(3):438~443.
 - 张晓燕,赵荣椿,马志强等.基于边缘特征的自动运动对象分割. DxX, **29**(2):460~464.
 - 张云,刘建平.一种重叠胃腺癌细胞分离线估计算法. ZTu, **12**(11):2058~2061.
 - 张振原,路红.一种基于视频结构的场景分割方法. ZTu, **12**(10):1913~1916.
 - 赵凤,范九伦.一种 C-均值聚类图像分割的模糊熵后处理方法. SC, **22**(3):299~303.
 - 赵凌君,贾承丽,匡纲要. SAR 图像边缘检测方法综述. ZTu, **12**(12):2042~2049.
 - 赵峙江,赵春晖,张志宏.一种新的 PCNN 模型参数估算方法. DX, **35**(5):996~1000.
 - 钟钊,周激流,郎方年等.边缘检测滤波尺度自适应选择算法. ZX, **33**(8):867~870.
 - 周雪芹,刘晓红,张先伟.安全玻璃碎片的检测与识别. ZTu, **12**(8):1401~1406.
 - 祝双武,郝重阳.基于 PCNN 的织物起球图像的分割. ZTu, **12**(7):1230~1233.
- B2:目标表达、描述、测量(9篇)**
- 陈优广,顾国庆,王玲.一种基于缝隙码的区域填充算法. ZTu, **12**(11):2086~2092.
 - 傅蓉,申洪.基于细胞散点图构建的细胞核心自动提取技术. ZTi, **12**(2):110~113.
 - 胡美燕,姜献峰.输液针图像矩不变量的研究. ZTu, **12**(3):456~459.
 - 刘宁钟,杨静宇.三维条码的编码理论和设计. JX, **30**(4):686~692.
 - 刘勇奎,魏巍,郭禾.压缩链码的研究. JX, **30**(2):281~287.
 - 王斌,施朝健.用混合遗传算法求解两类多边形近似问题.

DX, **35**(8):1527~1532.

- 王佐成,李永树,薛丽霞等. 遥感影像中模糊对象表达. ZTu, **12**(11):2081~2085.
- 谢明鸿,张亚飞,付琨等. 一种基于矩和支配点检测的多边形拟合算法. MR, **20**(2):219~224.
- 赵颜利,史文俊,郭成昊等. 基于形状参数均匀 B 样条的曲线拟合方法研究. ZTu, **12**(11):2093~2097.

B3: 目标特性分析 (21 篇)

- 卜彦龙,沈林成. 基于图像交叉分块的电子稳像算法. DxX, **29**(3):606~610.
- 曹媛媛,杨波,徐光裕. 基于分形纹理特征和小波变换的网状纹理检测方法. ZX, **33**(7):688~692.
- 陈孝春,叶懋冬,倪臣敏. 基于二叉树的曲线描述方法. ZTu, **12**(1):116~120.
- 陈洋,王润生. 结合 Gabor 滤波器和 ICA 技术的纹理分类方法. DX, **35**(2):299~303.
- 龚著琳,顾雅佳,陈瑛等. 乳腺钼靶 X 线影像中结构扭曲的特征提取研究. ZS, **26**(4):503~507.
- 缙水平,焦李成. 基于多尺度几何分析与核匹配追踪的图像识别. MR, **20**(6):776~781.
- 李建明,叶飞,于守秋等. 一种快速灰度图像彩色化算法. ZTu, **12**(3):536~540.
- 李旭涛,彭复员,曹汉强等. 地形表面的自相似程度与分类感知. DxX, **29**(6):1480~1482.
- 刘亦书. 仿射高斯描述子及其在模式识别中的应用. MR, **20**(6):770~775.
- 刘亦书. 一种新的形状特征——高斯描绘子. ZTu, **12**(3):482~490.
- 刘袁缘,严国萍,潘晴等. 一种基于能量差比较算法的差分运动检测方法的改进. XC, **23**(6):891~895.
- 裴继红,卢宗庆,谢维信. 基于图像梯度场序列的双向 GDIM 光流计算方法. DX, **35**(7):1301~1305.
- 蒲亦非,王卫星. 数字图像的分数阶微分掩模及其数值运算规则. ZX, **33**(11):1128~1135.
- 鲜海滢,李晓峰,李在铭. 基于光流参数方程的复杂全域运动估计. DC, **21**(4):5~10.
- 杨戴,裴继红,谢维信. 基于运动特征的远距离红外目标检测方法. DxX, **29**(8):1829~1832.
- 尤隽永,刘贵忠,李宏亮. 一种快速、鲁棒的压缩视频光流场估计算法. DxX, **29**(9):2154~2157.
- 禹晶,苏开娜. 一种结合空间预测和 CDS 的快速块匹配算法. ZX, **33**(4):355~360.
- 原磊,李金宗,李冬冬. 一种具有自适应权值系数的全局平滑光流算法. SC, **22**(2):190~195.
- 钟桦,肖竹,焦李成. 基于 Brushlet 复特征的纹理分类. DxX, **29**(10):2301~2304.
- 周露平,王智灵,陈宗海. 基于 M-估计的 UKF 算法及其在

运动估计中的应用. MR, **20**(6):849~854.

- 邹超,朱德森,肖力. 基于模糊类别共生矩阵的纹理疵点检测方法. ZTu, **12**(1):92~97.

B4: 目标检测和识别 (59 篇)

- 蔡红苹,耿振伟,粟毅. 遥感图像飞机检测新方法——圆周频率滤波法. XC, **23**(4):539~543.
- 查宇飞,毕笃彦. 一种基于粒子滤波的自适应运动目标跟踪方法. DxX, **29**(1):92~95.
- 查宇飞,楚瀛,王勋等. 一种基于 Boosting 判别模型的运动阴影检测方法. JX, **30**(8):1295~1301.
- 陈德元,涂国防. SAR 图像多尺度积增强的目标检测算法. YX, **11**(2):185~192.
- 陈飞,王秀芳,王坤等. 地形图点状符号的自动提取和识别. ZX, **33**(10):1074~1080.
- 陈涛,粟毅,蒋咏梅等. 利用仿射几何特性提取图像中的仿射不变特征. ZTu, **12**(9):1633~1641.
- 陈祖爵,陈潇君,何鸿. 基于改进的混合高斯模型的运动目标检测. ZTu, **12**(9):1585~1589.
- 高贵,黄纪军,匡纲要等. 一种适用于 rural 区 SAR 图像目标感兴趣区域获取方法. XC, **23**(4):573~577.
- 高建坡,王煜坚,杨浩等. 以颜色和形状直方图为线索的粒子滤波人脸跟踪. ZTu, **12**(3):466~473.
- 高庆吉,胡丹丹,牛国臣等. 基于磁光图像的飞机铆钉缺陷识别. ZTu, **12**(12):2179~2183.
- 郭立生,郭立,焦荣惠等. 一种基于运动阴影的目标检测算法. MR, **20**(2):180~184.
- 郝云峰,戚飞虎,蒋人杰. 一种新的基于机器学习的 2 维条形码检测算法. ZTu, **12**(10):1873~1876.
- 贺霖,潘泉,赵永强. 量测重构线性混合模型高光谱图像目标检测. DX, **35**(1):23~27.
- 胡春华,马旭东,戴先中. 基于自适应高斯核支持向量机的室内人体存在检测. MR, **20**(4):492~498.
- 胡昭华,樊鑫,梁德群等. 基于双向非线性学习的轨迹跟踪和识别. JX, **30**(8):1389~1397.
- 黄飞,李德华. 基于层次匹配和背景补偿的红外目标跟踪. MR, **20**(5):722~726.
- 黄睿,何明一,杨少军. 一种适用于小样本问题的基于边界的特征提取算法. JX, **30**(7):1173~1178.
- 季顺平,袁修孝. 一种基于阴影检测的建筑物变化检测方法. YX, **11**(3):323~329.
- 冀贞海,孙宁,邹采荣等. 基于加权主动形状建模的人脸特征定位方法. DxX, **29**(4):800~803.
- 贾承丽,周晓光,计科峰等. 复杂 SAR 场景中机场跑道的提取. XC, **23**(3):374~378.
- 金连文,徐睿,杨端端等. 手指书写:一种虚拟文字识别人机交互新方法. DX, **35**(3):396~401.
- 李朝阳,阎广建,肖志强等. 高分辨率航空影像中高压电力

- 线的自动提取. ZTu, **12**(6):1041~1047.
- 李培华. 一种改进的 Mean Shift 跟踪算法. ZX, **33**(4):347~354.
 - 刘富强, 李洲晖. 基于光照无关图的阴影去除方法. ZTu, **12**(10):1837~1840.
 - 刘富强, 沙浩. 基于改进 SCW 的道路标志牌字符定位算法. ZTu, **12**(10):1869~1872.
 - 龙飞, 董槐林, 王备战等. 一种基于 Gabor 描述的概率子空间人脸识别方法. DxX, **29**(3):626~630.
 - 马文萍, 焦李成, 张向荣等. 基于量子克隆优化的 SAR 图像分类. DX, **35**(12):2241~2246.
 - 宁纪锋, 吴成柯. 一种基于纹理模型的 Mean Shift 目标跟踪算法. MR, **20**(5):612~618.
 - 齐苏敏, 黄贤武, 伊怀峰. 基于各向异性核函数的均值漂移跟踪算法. DxX, **29**(3):686~689.
 - 钱惠敏, 茅耀斌, 王执铨. 自动选择跟踪窗尺度的 Mean-Shift 算法. ZTu, **12**(2):245~249.
 - 唐林波, 赵保军. 一种航拍图像中水上桥梁的实时识别算法. DX, **35**(3):511~514.
 - 王长军, 朱善安. 基于 Mean Shift 的目标平移与旋转跟踪. ZTu, **12**(8):1367~1371.
 - 王传旭, 张祥光, 原春锋等. 基于邻域相关性和帧间连续性的前景目标分割. SC, **22**(3):288~291.
 - 王刚, 王广云, 胡德文. 时间独立分量分析模型的新息方法. XC, **23**(1):88~92.
 - 王明高, 王琰. 一种基于相关特征匹配的移动目标检测方法. ZTu, **12**(8):1372~1376.
 - 王文光, 王俊, 毛士艺等. 基于极化 SAR 图像分类的海上舰船检测. XC, **23**(5):676~679.
 - 王永忠, 潘泉, 赵春晖等. 一种对光照变化鲁棒的均值漂移跟踪方法. DxX, **29**(10):2287~2291.
 - 王志明, 张丽, 王丽君. 基于单程分裂与归并图像分割的集装箱号识别. ZTu, **12**(3):450~455.
 - 吴沫, 安向京, 贺汉根. 基于视觉的车道跑偏检测方法研究及仿真. ZTu, **12**(1):110~115.
 - 吴有富. 时间正交 Gaussian-Hermite 的性质及其应用. XC, **23**(5):747~750.
 - 吴舟舟, 李树广. 基于分级边缘间距的实时车牌检测. ZTu, **12**(2):315~321.
 - 肖梅, 韩崇昭. 基于在线聚类的背景减法. MR, **20**(1):35~41.
 - 徐剑峰, 吴一全, 周建江. 基于时域背景预测检测红外图像序列中的小目标. ZTu, **12**(9):1598~1603.
 - 袁非牛. 基于运动累积和半透明的视频烟雾探测模型. SC, **22**(4):396~400.
 - 苑玮琦, 张亮. 基于分块思想的汽车牌照定位算法研究. ZX, **33**(7):768~770.
 - 张伯虎. 基于图像处理技术的火灾与人为入侵的检测方法初探. ZTi, **12**(2):134~137.
 - 张东波, 王耀南. 一种粗逻辑神经网络研究. DxX, **29**(3):611~615.
 - 张恒, 于起峰, 丁晓华等. 基于加权 Gabor 梯度的新型多尺度角点检测方法. ZTu, **12**(8):1377~1382.
 - 张文超, 王岩飞, 陈贺新. 基于 Tophat 变换的复杂背景下运动点目标识别算法. ZTu, **12**(5):871~874.
 - 张小洪, 雷明, 杨丹. 基于多尺度曲率乘积的鲁棒图像角点检测. ZTu, **12**(7):1270~1275.
 - 张志斌, 罗锡文, 周学成等. 基于 Hough 变换和 Fisher 准则的垄线识别算法. ZTu, **12**(12):2164~2168.
 - 赵丹培, 王延杰. 基于 SVD 的相位相关方法在空间运动目标检测中的应用. ZTu, **12**(1):98~103.
 - 郑世友, 费树岷, 刘怀等. 动态场景图像序列中运动目标检测新方法. ZTu, **12**(9):1590~1597.
 - 钟小品, 薛建儒, 郑南宁等. 基于融合策略自适应的多线索跟踪方法. DxX, **29**(5):1017~1022.
 - 周妍, 胡波, 张建秋. 基于粒子滤波器和风险决策跟踪遮挡目标的方法. DX, **35**(2):350~353.
 - 朱庆, 徐胜华, 韩李涛. 基于 D-S 证据理论的彩色航空影像阴影提取方法. ZX, **33**(6):588~595.
 - 朱胜利, 朱善安. 基于卡尔曼滤波器组的 Mean Shift 模板更新算法. ZTu, **12**(3):460~465.
 - 邹益民, 汪渤. 一种基于变形模板的椭圆提取算法. ZTu, **12**(5):888~892.
 - 左军毅, 潘泉, 梁彦等. 基于模型切换的自适应背景建模方法. ZX, **33**(5):467~473.
- B5: 人体生物特征提取和验证 (58 篇)**
- 艾娟, 姚丹, 郭跃飞. 基于块的眼睛定位方法. ZTu, **12**(10):1841~1844.
 - 柴艳妹, 赵荣椿, 田见光等. 基于动态能量特征的步态识别方法. MR, **20**(1):105~109.
 - 陈才扣, 杨静宇. Fisher 大间距线性分类器. ZTu, **12**(12):2143~2147.
 - 陈华杰, 韦巍. 基于关联子区域映射的多姿态人脸识别. ZTu, **12**(7):1254~1260.
 - 陈华杰, 韦巍. 基于局部线性判别融合的非线性流形判别分析. MR, **20**(1):1~6.
 - 陈实, 马天骏, 黄万红等. 基于形状上下文描述子的步态识别. MR, **20**(6):794~799.
 - 陈秀宏, 杨静宇. 人脸识别中多目标最优不相关图像鉴别分析研究. ZTu, **12**(12):2137~2142.
 - 成新民, 蒋云良, 胡文军. 基于核的 Fisher 非线性最佳鉴别分析在人脸识别中的应用. ZTu, **12**(8):1395~1400.
 - 邓洪波, 金连文. 一种基于局部 Gabor 滤波器组及 PCA + LDA 的人脸表情识别方法. ZTu, **12**(2):322~329.

- 杜友田,陈峰,徐文立等. 基于视觉的人的运动识别综述. *DX*,**35**(1):84~90.
- 甘俊英,李春芝. 基于小波变换、二维主元分析与独立元分析的人脸识别方法. *MR*,**20**(3):377~381.
- 高建坡,王煜坚,杨浩等. 一种基于 KL 变换的椭圆模型肤色检测方法. *DxX*,**29**(7):1739~1743.
- 郭志波,杨静宇,刘华军. 基于矩阵完备投影的快速主分量分析算法. *ZTu*,**12**(4):628~632.
- 郭志波,杨静宇,郑宇杰等. 基于样本分布相似度的期望分布鉴别分析. *MR*,**20**(6):751~756.
- 何国辉,甘俊英,李春芝等. 人脸与虹膜特征融合模型的研究. *DX*,**35**(7):1365~1371.
- 胡正平. 基于多尺度-局部方向轮廓综合的鲁棒虹膜定位算法. *DX*,**35**(1):131~134.
- 黄申,屈景辉,卢虹冰. 采样式多通道 Gabor 滤波对掌纹的特征提取和分类. *ZTu*,**12**(12):2148~2157.
- 姜峰,高文,姚鸿勋等. 手势手语力效分析. *JX*,**30**(5):851~860.
- 黎文汉,朱善安,祝磊. 基于四元数主成分分析的人脸识别算法. *XC*,**23**(2):214~216.
- 黎文汉,朱善安. 基于递归正交最小二乘的径向基函数神经网络人脸识别. *XC*,**23**(3):460~463.
- 李强,裘正定,孙冬梅. 指横纹:一种新的生物身份特征. *ZX*,**33**(6):596~601.
- 李三平,魏镇韩,张毓森. 一种基于 Adaboost 的分层特征空间人脸检测的方法. *MR*,**20**(3):435~438.
- 李伟红,陈伟民,杨利平等. 基于不同 Margin 的人脸特征选择及识别方法. *DxX*,**29**(7):1744~1748.
- 刘伟,杨圣. 基于 Haar 小波变换的快速指纹识别算法. *ZTu*,**12**(4):673~677.
- 鲁继文,张二虎,薛延学. 基于独立成分分析和信息融合的步态识别. *MR*,**20**(3):365~370.
- 马勤勇,王申康,聂栋栋等. 基于瞬时步态能量图的远距离身份识别. *DX*,**35**(11):2078~2082.
- 彭彰,吴晓娟,杨军. 基于肢体长度参数的多视角步态识别算法. *ZX*,**33**(2):210~213.
- 苏茜,黄凤岗. 基于周期序列宽度图的步态识别方法. *ZTu*,**12**(8):1383~1388.
- 苏茜,黄凤岗. 一种基于时空分析的步态识别方法. *MR*,**20**(2):281~286.
- 苏茜,黄凤岗. 一种基于主曲线的步态识别方法. *DX*,**35**(9):1685~1690.
- 孙宁,冀贞海,邹采荣. 基于 2 维偏最小二乘法的图像局部特征提取及其在面部表情识别中的应用. *ZTu*,**12**(5):847~853.
- 孙雪梅,苏菲,蔡安妮. 基于分叉树和 SVM 的人脸图像光照方向估计. *ZTu*,**12**(10):1885~1888.
- 孙怡,王晏,宋植官. 基于图像信息的人体下肢关节定位. *ZS*,**26**(1):157~160.
- 谭华春,章毓晋,李睿. 基于角点特征的眼睛轮廓提取. *ZTu*,**12**(7):1224~1229.
- 谭华春,章毓晋. 基于人脸相似度加权距离的非特定人表情识别. *DxX*,**29**(2):455~459.
- 汤金宽,曹丹华,吴裕斌. 基于组合模板的人体头部精确定位算法. *ZTu*,**12**(8):1389~1394.
- 王长宇,宋尚玲. 一种基于分数维的虹膜识别方法. *ZX*,**33**(7):698~702.
- 王成章,尹宝才,孙艳丰. 改进的基于形变模型的三维人脸建模方法. *ZX*,**33**(3):232~239.
- 王科俊,侯本博. 步态识别综述. *ZTu*,**12**(7):1152~1160.
- 王磊,邹北骥,彭小宁等. 基于高斯过程的表情动作单元跟踪技术. *DX*,**35**(11):2087~2091.
- 王守觉,孙华,莫华毅. 彩色图像特征空间变换的新算法及其应用. *DX*,**35**(2):193~196.
- 王晓平,郝玉峰,付德刚等. 一种自动的唇部定位及唇轮廓提取、跟踪方法. *MR*,**20**(4):485~491.
- 吴介,裘正定,孙冬梅. 基于灰度分布特征的层次掌纹识别方法. *DxX*,**29**(8):1821~1825.
- 吴曦华,周昌乐. 平面旋转人脸检测与特征定位方法研究. *DX*,**35**(9):1714~1718.
- 伍世虔,韦礼珍,方志军. 基于辐射能量的红外人脸识别. *ZTu*,**12**(10):1845~1848.
- 谢永华,陈伏兵,张生亮. 融合小波变换与 KPCA 的分块人脸特征抽取与识别算法. *ZTu*,**12**(4):666~672.
- 徐战武,朱森良. 基于颜色的皮肤检测综述. *ZTu*,**12**(3):377~388.
- 姚鹏,叶学义,庄镇泉等. 基于局部频率特征和局部方向特征的虹膜识别算法. *DX*,**35**(4):663~667.
- 叶波,文玉梅. 基于小波变换和支持向量机的步态识别算法. *ZTu*,**12**(6):1055~1063.
- 叶学义,龙飞,庄连生. 实时虹膜识别系统中的图像预评估检测. *ZTu*,**12**(11):2037~2042.
- 印勇,徐昶. 基于互功率谱的虹膜识别方法. *ZTu*,**12**(5):854~859.
- 张红云,苗夺谦,傅文杰. 基于改进的 GPL 主曲线算法的指纹特征分析与提取. *MR*,**20**(6):763~769.
- 张惟,穆志纯,袁立. 基于改进 AdaBoost 算法的人耳检测与跟踪. *ZTu*,**12**(2):222~227.
- 周航,阮秋琦. 基于 ROI 分割和相干映射的裸手字母手势识别. *TX*,**28**(5):94~101.
- 周晓飞,杨静宇,姜文瀚. 核最近邻凸包分类算法. *ZTu*,**12**(7):1209~1213.
- 朱文佳,戚飞虎. 基于 Gentle Adaboost 的行人检测. *ZTu*,**12**(10):1905~1908.

- 祝磊,朱善安.基于 2 维保局投影的人脸识别. ZTu, **12**(11):2043~2047.
- 庄哲民,张阿姐,李芬兰.基于优化的 LDA 算法人脸识别研究. DxX, **29**(9):2047~2049.

C: 图像理解(共 142 篇)

C1: 图像匹配和融合等(72 篇)

- 曹杰,龚声蓉,刘纯平.一种基于 ICA 的多源图像融合算法. ZTu, **12**(10):1857~1860.
- 陈蜜,佘剑辉,李德仁.基于独立分量分析和支持向量机的遥感影像融合分类算法. ZTu, **12**(9):1665~1670.
- 陈涛,蒋咏梅,粟毅.基于压缩映射不动点的图像几何不变特征提取. XC, **23**(1):19~26.
- 陈涛,粟毅,郁文贤.图像尺度不变特征提取新方法. XC, **23**(4):506~511.
- 陈玉敏,龚健雅,史文中.多尺度道路网的距离匹配算法研究. CX, **36**(1):84~90.
- 戴静兰,陈志杨,叶梓梓. ICP 算法在点云配准中的应用. ZTu, **12**(3):517~521.
- 邓宝松,高宇,魏迎梅.基于仿射迭代方法的大基线图像匹配技术研究. XC, **23**(6):823~828.
- 邓宝松,宋汉辰,杨冰.基于仿射迭代模型的特征点匹配算法. ZTu, **12**(4):678~683.
- 方贤勇,张明敏,潘志庚.基于图切割的图像拼接技术研究. ZTu, **12**(12):2050~2056.
- 冯祖仁,吕娜,李良福.基于最大后验概率的图像匹配相似性指标研究. ZX, **33**(1):1~8.
- 高峰,文贡坚,吕金建.基于干线对的红外与可见光最优图像配准算法. JX, **30**(6):1014~1021.
- 高军,李学伟,张建.彩色印刷品套准精度分析算法. SC, **22**(4):423~426.
- 高鹏东,彭翔,李阿蒙.基于混合遗传算法和表面间平均体积度量的深度像匹配. JX, **30**(12):2189~2197.
- 葛培明,陈虬,李尧臣.混合遗传算法在医学图像配准中的应用. ZS, **26**(3):326~331.
- 葛仕明,程义民,曾丹.基于稀疏特征匹配和形变传播的无缝图像拼接. DxX, **29**(12):2795~2799.
- 葛永新,杨丹,张小洪.基于边缘特征点对点齐度的图像配准方法. ZTu, **12**(7):1291~1295.
- 葛永新,杨丹,张小洪.基于特征点对齐度的图像配准方法. DxX, **29**(2):425~428.
- 葛志荣,王斌,张立明.一种基于残差的遥感图像融合新方法. ZTu, **12**(1):135~140.
- 何贵青,郝重阳,田运.基于平稳小波变换的图像融合算法. SC, **22**(2):127~131.
- 洪日昌,吴秀清,袁勋.基于双正交小波变换的多光谱与全色图像融合研究. ZTu, **12**(4):684~690.
- 胡硕,朱明,吴川.一种起始点无关的小波系数形状匹配. ZTu, **12**(2):302~307.
- 贾建,焦李成,孙强.基于非下采样 Contourlet 变换的多传感器图像融合. DX, **35**(10):1934~1938.
- 金海燕,刘芳,焦李成.基于多尺度对比度塔和方向滤波器组的图像融合. DX, **35**(7):1295~1300.
- 郎方年,周激流,钟钊.基于四元数的图像信息并行融合. ZX, **33**(11):1136~1143.
- 冷雪飞,刘建业,熊智.基于分支特征点的导航用实时图像匹配算法. ZX, **33**(7):678~682.
- 李赣华,周东祥,董黎.基于 Delaunay 三角化的有效角点匹配算法. XC, **23**(5):695~698.
- 李光鑫,王珂.基于 Contourlet 变换的彩色图像融合算法. DX, **35**(1):108~111.
- 李海,廖桂生. InSAR 自适应图像配准的干涉相位估计方法. DX, **35**(3):420~425.
- 李静,杨烜,喻建平.基于特征分类的 MRI 医学图像弹性配准. ZTu, **12**(6):1069~1078.
- 李伟,朱学峰.基于第二代小波变换的图像融合方法及性能评价. ZX, **33**(8):817~822.
- 连静,王珂,李光鑫.基于边缘的小波图像融合算法. TX, **28**(4):18~23.
- 连玮,梁彦,程咏梅.一种基于相位互相关平方和地图像配准算法. MR, **20**(2):162~166.
- 连玮,梁彦,程咏梅.用于快速特征点配准的聚类凸集投影算法. ZTu, **12**(3):505~510.
- 连玮,梁彦,潘泉.用于特征点配准的快速聚类凸集投影算法. ZX, **33**(3):240~247.
- 梁栋,李瑶,沈敏.一种基于小波-Contourlet 变换的多聚焦图像融合算法. DX, **35**(2):320~322.
- 林卉,张连蓬,张庆利.基于多分辨率分析的灰度调制影像融合方法研究. YX, **11**(1):62~68.
- 林志泉,胡永健,杨晖.一种基于特征的约束匹配方法. ZTu, **12**(11):2104~2108.
- 刘宝泉,冯大政,李军侠.基于曲线拟合的干涉合成孔径雷达(InSAR)复图像自动配准算法. DxX, **29**(7):1666~1669.
- 刘博文,余松煜,徐奕.宽基线主动视觉中感兴趣目标的对应技术. ZTu, **12**(10):1917~1921.
- 刘常春,胡顺波,俞梦孙.基于互严格凹函数测度的医学图像配准新方法. ZS, **26**(2):231~237.
- 卢振泰,陈武凡.基于共生互信息量的医学图像配准. JX, **30**(6):1022~1027.
- 罗丽,袁真,王珂.基于 à trous-Contourlet 变换的遥感图像融合算法. MR, **20**(2):248~253.
- 马艳军,石爱业,徐立中.基于区域特性选择的遥感图像融合方法. ZTu, **12**(2):228~233.
- 梅涛,周荷琴,华先胜.一种基于运动特征的快速有效的视

- 频镜头全拼图方法. ZTu, **12**(3):511~516.
- 牛力丕,毛士艺,陈炜. 基于 Hausdorff 距离的图像配准研究. DxX, **29**(1):35~38.
 - 彭曙蓉,王耀南,刘国才. 基于边缘提取和改进型整体松弛匹配算法的 InSAR 复图像配准方法. CX, **36**(1):62~66.
 - 彭晓明,陈武凡,马茜. 基于 B 样条的弹性点配准方法. ZTu, **12**(6):1079~1085.
 - 荣成城,周健,罗立民. 基于 B 样条插值函数的人脑 MR 图像非刚体配准方法. SC, **22**(1):78~83.
 - 沙宇恒,丛琳,侯彪. 基于方向纹理信息的图像融合. DxX, **29**(3):593~597.
 - 石爱业,徐立中. 一种自适应模糊密度赋值的小波变换遥感图像融合算法. DxX, **29**(2):355~359.
 - 谭志国,孙即祥. 基于点空间特征的两种点匹配算法. MR, **20**(3):325~330.
 - 王坚,张继贤,刘正军. 基于经验模态分解的高分辨率影像融合. YX, **11**(1):55~61.
 - 王坚,周来水,张丽艳. 基于遗传算法的曲面匹配. ZTu, **12**(4):695~699.
 - 王哲,常发亮. 基于网络最小割的分层立体视觉匹配方法. MR, **20**(1):64~68.
 - 翁木云,何明一. 图像综合特征及其在图像检测与匹配中的应用. ZTu, **12**(1):121~126.
 - 吴体瑞,吴小俊. 一种基于区域和 Contourlet 变换的多聚焦图像融合新方法. ZTi, **12**(2):98~104.
 - 吴晓荣,何明一,张易凡. 基于多小波分解的多光谱图像矢量融合. DxX, **29**(4):789~794.
 - 吴艳,刘重阳,廖桂生. 一种新的像素级多聚焦图像融合算法. DxX, **29**(12):2800~2804.
 - 肖甫,吴慧中,肖亮. 一种光照鲁棒的图像拼接融合算法. ZTu, **12**(9):1671~1675.
 - 熊大容,杨烜. 基于多传感器决策级融合的远距离目标检测. ZTi, **12**(1):28~32.
 - 徐冠雷,王孝通,徐晓刚. 基于视觉特性的多聚焦图像融合新算法. ZTu, **12**(2):330~336.
 - 杨帆,张汗灵. 蚁群算法和 Powell 法结合的多分辨率三维图像配准. DxX, **29**(3):622~625.
 - 杨健,王涌天,唐宋元. 基于互信息量和薄板样条的 X 射线造影图像弹性配准. DX, **35**(1):127~130.
 - 袁占亭,张秋余,靳艳峰. 基于 Delaunay 与多边形三角剖分的印鉴识别算法. MR, **20**(2):261~265.
 - 曾慧,吴福朝,胡占义. 基于平面激光测盆的移动机器人自定位方法. ZX, **33**(2):138~144.
 - 张登荣,俞乐. 一种高精度的干涉雷达复数影像配准方法. YX, **11**(4):563~567.
 - 张桂梅,高满屯,沈允文. 从单幅线图识别部分遮挡的平面多边形物体. MR, **20**(1):124~130.
 - 张浩峰,赵春霞,陈得宝. 一种基于分割的两步立体匹配算法. ZTu, **12**(11):2098~2103.
 - 张绍明,陈映鹰,林怡. 用于末制导的 SAR 图像多子区实时匹配算法. CX, **36**(4):406~413.
 - 张易凡,何明一. 综合有向纹理特征及其在多光谱图像融合中的应用. DxX, **29**(1):81~86.
 - 赵辉,陈辉,于泓. 一种改进的全景图自动拼接算法. ZTu, **12**(2):336~342.
 - 赵万金,龚声蓉,刘全. 一种用于图像拼接的图像序列自动排序算法. ZTu, **12**(10):1861~1864.
- ### C2:场景恢复(20篇)
- 成兰,邢哲,田原. 从单幅灰度图像中求解三维物体姿态的方法. MR, **20**(3):428~434.
 - 董育宁,杨轶,陈文. 一种断层图像间复杂轮廓的三维重建方法. ZS, **26**(3):379~383.
 - 胡剑政,谈正. 一种基于主动视觉的三维结构恢复和直接欧氏重建算法. ZX, **33**(5):494~499.
 - 康戈文,任文伟,甘春泉. 基于神经网络的金属断口 3 维重建. ZTu, **12**(3):402~405.
 - 雷印胜,王明时,秦然. 基于形状的 CT 图像断层间数据插值算法. DC, **21**(3):23~27.
 - 刘侍刚,吴成柯,李良福. 基于 1 维子空间线性迭代射影重建. DX, **35**(4):692~696.
 - 刘侍刚,吴成柯,李良福. 一种存在遮挡的射影重建算法. MR, **20**(4):565~570.
 - 刘侍刚,吴成柯,赵录刚. 线性迭代子空间射影重建法. DxX, **29**(2):451~454.
 - 刘占伟,安平,刘苏醒. 基于 DIBR 和图像融合的任意视点绘制. ZTu, **12**(10):1696~1700.
 - 梅雪,夏良正,李久贤. 一种三维场景的消失点检测算法. XC, **23**(6):924~926.
 - 石磊,杨新,潘海朗. 基于网格光的三维人脸曲面测量. DC, **21**(3):9~14.
 - 汤立波,李道京,吴一戎. 单天线 SAR 运动舰船目标三维形状重构. YX, **11**(4):468~472.
 - 王荣本,李琳辉,金立生. 基于双目视觉的智能车辆障碍物探测技术研究. ZTu, **12**(12):2158~2163.
 - 王永波,盛业华,闫国年. 基于 Delaunay 规则的无组织采样点集表面重建方法. ZTu, **12**(9):1537~1543.
 - 杨健,王涌天,刘越. 基于未标定单平面造影图像的冠状动脉树三维重建. JX, **30**(9):1594~1602.
 - 张卡,盛业华,李永强. 基于数字近景立体摄影的三维表面模型构建. SC, **22**(3):309~314.
 - 赵新,孙明竹,卢桂章. 基于显微图像处理的微操作工具深度信息提取方法. ZX, **33**(9):917~923.
 - 朱庆生,刘然,许小艳. 平面图像立体化研究. DxX, **29**(12):2814~2818.

- 朱延娟,周来水,张丽艳.3维碎片拼合的算法研究.ZTu,**12**(1):164~170.
- 邹益民,汪渤.基于单视图像的球体姿态估计.DxX,**29**(8):1826~1828.

C3:图像感知和解释(7篇)

- 陈久军,肖刚,高飞.基于HAB优化算法的图像语义目标对象提取研究.ZTu,**12**(8):1359~1366.
- 林春漪,尹俊勋,马丽红.基于模糊贝叶斯网络的星形细胞瘤分级预测与知识表达.ZS,**26**(1):6~11.
- 唐晓亮,韩敏.基于改进型模糊ARTMAP网络的CBR遥感图像分类系统研究.ZTu,**12**(6):1033~1040.
- 田媚,罗四维,廖灵芝.基于what和where信息的目标检测方法.DX,**35**(11):2055~2061.
- 魏维,李千目,刘凤玉.视频语义分析两级多模式融合算法.ZTu,**12**(5):893~898.
- 谢昭,高隽.一种基于粗糙集区域分割和语义分类的方法.MR,**20**(2):287~294.
- 邹琪,罗四维,钟晶晶.全局显著结构主导下的知觉编组算法.JX,**30**(11):2008~2016.

C4:基于内容的图像和视频检索(36篇)

- 郎丛妍,须德,李兵.一种基于模糊信息粒化的视频时空显著单元提取方法.DX,**35**(10):2023~2028.
- 陈久军,肖刚,高飞.基于语义测度的图像相似性计算研究.ZTu,**12**(10):1877~1880.
- 陈久军,肖刚,盛颂恩.XML驱动的图像语义检索研究.ZTu,**12**(10):1770~1773.
- 陈世举,崔皓,毋立芳.一种篮球比赛视频镜头分割新方法.XC,**23**(4):500~505.
- 邓丽,金立左,费树岷.基于组合相似性的视频检索.DxX,**29**(5):1023~1026.
- 冯玉才,吴潇,梁俊杰.基于分块权重和相关反馈技术改进Zernike矩描述符的执行效率.ZTu,**12**(6):1086~1090.
- 高新波,田春娜,张娜.一种基于SVM主动学习的卡通视频检测方法.DxX,**29**(6):1338~1342.
- 顾志伟,吴秀清,荆浩.一种基于特征选择的医学图像检索方法.ZS,**26**(1):30~34.
- 韩冰,高新波,姬红兵.基于粗糙集和模糊聚类的新闻视频镜头边界检测方法.ZTu,**12**(3):522~528.
- 韩东峰,李文辉,郭武.基于潜在局部区域空间关系学习的物体分类算法.JX,**30**(8):1286~1294.
- 黄晶,倪林,曹荣.基于半径和角度直方图的形状检索.SC,**22**(4):411~416.
- 黄晶,倪林,苗原.基于通用曲率尺度空间描述子的彩色图像检索.SC,**22**(2):132~137.
- 冀中,张春田,苏育挺.新闻视频故事单元分割技术综述.ZTu,**12**(11):1952~1960.
- 李闯,丁晓青,吴佑寿.一种改进的AdaBoost算法——AD

AdaBoost.JX,**30**(1):103~109.

- 李远宁,刘汀,蒋树强.基于“bag of words”的视频匹配方法.TX,**28**(12):147~151.
- 练秋生,李芹,孔令富.融合圆对称轮廓波统计特征和LBP的纹理图像检索.JX,**30**(12):2198~2204.
- 马桔,路红,郭跃飞.融合相机元信息的基于区域的手机图片搜索.ZTu,**12**(10):1766~1769.
- 芮晓光,袁平波,何芳.一种新的基于语义聚类和图算法的自动图像标注方法.ZTu,**12**(2):239~244.
- 施智平,胡宏,李清勇.视频数据库的聚类索引方法.JX,**30**(3):397~404.
- 孙颖楷,王光学.基于PCA预处理的图像特征属性约简.ZTu,**12**(10):1897~1900.
- 万丽莉,赵沁平.一种基于视图分类的3维模型检索方法.ZTu,**12**(3):529~535.
- 王伟强,付立波,高文.基于笔画特征的叠加文字检测方法.TX,**28**(12):116~120.
- 王向阳,胡峰丽.一种基于重要位平面的鲁棒图像检索算法.ZTu,**12**(9):1647~1652.
- 王向阳,芦婷婷.一种鲁棒的多特征彩色图像检索新方法.ZTu,**12**(10):1757~1760.
- 王煜,周立柱,邢春晓.视频语义模型及评价准则.JX,**30**(3):337~351.
- 向坚,徐劼,郭同强.基于改进的数据驱动决策树分析的3维人体运动检索.ZTu,**12**(10):1761~1765.
- 杨家红,许灿辉,王耀南.基于Contourlet广义高斯模型的纹理图像检索.ZTu,**12**(4):691~694.
- 章志勇,许芸,凌云.3维模型形状相似性比较算法综述.ZTu,**12**(8):1317~1325.
- 章志勇,杨柏林.球面调和描述子在图像形状匹配中的应用.ZX,**33**(7):683~687.
- 赵珊,崔江涛,周利华.基于位平面分布熵的图像检索算法.DxX,**29**(4):795~799.
- 赵珊,崔江涛,周利华.一种基于图像显著特征点的检索算法.MR,**20**(3):382~387.
- 赵亚琴,周献中,何新.利用等价关系理论进行视频片段检索的方法.ZTu,**12**(1):127~134.
- 赵亚琴,周献中,何新.一种层次的电影视频摘要生成方法.ZTu,**12**(8):1412~1417.
- 智敏,蔡安妮.基于基色调的镜头边界检测方法.ZX,**33**(6):655~657.
- 朱秋煜,黄素娟,王朔中.证件照片的特征提取与检索.MR,**20**(4):545~551.
- 朱远清,李才伟.一种基于前景与背景划分的区域图像检索方法及实现.ZTu,**12**(2):234~238.

C5:时空技术(7篇)

- 高庆吉,雷亚莉,胡丹丹.基于自适应感知复位算法的移动

机器人定位. DX, **35**(11):2166~2171.

- 贾慧星, 章毓晋. 车辆辅助驾驶系统中基于计算机视觉的行人检测研究综述. ZX, **33**(1):84~90.
- 王震宇, 张可黛, 吴毅. 基于 SVM 和 AdaBoost 的红外目标跟踪. ZTu, **12**(11):2052~2057.
- 肖敬若, 张艳宁, 胡伏原. 一种鲁棒的多目标自动跟踪算法. XC, **23**(3):437~440.
- 徐一华, 李善青, 贾云得. 一种基于视觉的手指屏幕交互方法. DX, **35**(11):2236~2240.
- 于慧敏, 徐艺, 刘继忠. 基于水平集的多运动目标时空分割与跟踪. ZTu, **12**(7):1218~1223.
- 张晖, 董育宁, 夏洋. 一种基于改进的 GVF-Snake 模型的车辆跟踪算法. MR, **20**(3):388~393.

D: 技术应用 (共 194 篇)

D1: 硬件、系统和快速算法 (30 篇)

- 曹艳, 王典洪, 彭玉成. 简单双正交 C9/7 小波的提升构造. ZTu, **12**(7):1201~1205.
- 陈磊, 王峰, 段淋等. 一种用于 JPEG2000 的小波变换 VLSI 结构设计方法. ZTu, **12**(10):1730~1734.
- 陈小光, 封举富. Gabor 滤波器的快速实现. ZX, **33**(5):456~461.
- 陈燕东, 刘景琳, 孟志强. 新型实时光电混合图像识别系统设计. DC, **21**(3):103~107.
- 费伟, 朱向军, 裘赛海等. 基于 C64 × DSP 的 MPEG-4 视频编码器算法设计及优化. XC, **23**(2):256~261.
- 冯占军, 王磊, 罗显光. 基于激光传感器的工件外径尺寸检测系统. DC, **21**(6):82~84.
- 甘勇, 苏士美, 周兵等. 嵌入式视频编码器量化算法优化. TX, **28**(6):85~89.
- 黄凯, 秦兴, 严晓浪. 一种 H. 264 帧内预测模式判决算法及 VLSI 实现体系. DX, **35**(2):207~211.
- 黄民双, 黄军芬, 冯音琦等. 三维焊接坡口轮廓图像测量系统. SC, **22**(4):507~510.
- 姜玲, 黄峰. 图像的定点 FFT 变换的精度分析. ZTu, **12**(6):1014~1017.
- 刘春华, 潘晋孝. 锥束 ART 算法的并行运算实现. CT, **16**(3):13~19.
- 卢惠民, 刘斐, 郑志强. 一种新的用于足球机器人的全向视觉系统. ZTu, **12**(7):1243~1248.
- 鲁昌华, 蔡磊, 李艳红. 基于 DSP/BIOS II 的机器视觉检测系统的研究. DC, **21**(4):63~67.
- 宋乐, 林玉池, 周欣等. 基于 DM642 的红外图像处理系统的优化策略. ZTu, **12**(10):1901~1904.
- 唐彬, 张松宝, 霍合勇. SPRR-300 热中子层析照相初步实验研究. CT, **16**(3):43~49.
- 汪海洋, 潘德炉, 夏德深. 二维 Otsu 自适应阈值选取算法

的快速实现. ZX, **33**(9):968~970.

- 王继东, 鲁琴, 罗武胜等. 位平面算术编码的编码分离与 MQ 编码器改进. ZTu, **12**(10):1806~1810.
- 王强, 卓力, 沈兰荪. 基于 DSP 平台的 H. 264 编码器的优化与实现. DxX, **29**(12):2970~2973.
- 魏道昀, 祝美龙, 陶亮. 基于 DCT 的实值离散 Gabor 变换. DxX, **29**(11):2783~2786.
- 吴胜利, 潘瑞谊, 文斌. 锥束 CT 图像重建算法的快速实现. CT, **16**(4):31~37.
- 徐张磊, 郑世宝, 杨宇红. 一种支持 H. 264 和 AVS 的帧内预测器设计. ZTu, **12**(10):1735~1739.
- 张菁, 沈兰荪, 宋恺. 中医舌象分析仪人机交互接口的设计. DC, **21**(1):96~101.
- 张娟, 周建江, 黎宁. 基于单目视觉的道路自主导航模型车. XC, **23**(2):309~313.
- 章品正, 王征, 徐琴珍等. 二维矩正反变换的快速算法. XC, **23**(1):69~72.
- 赵劫, 刘铁根, 李晋申. 基于 DM642 的高速图像识别系统设计. DC, **21**(1):86~89.
- 赵强, 罗嵘, 汪蕙. 用于 HDTV 视频解码器的高性能 SDRAM 控制器. DxX, **29**(6):1332~1337.
- 赵子梁, 郑世宝. H. 264/AVC 中 1/4 精度内插算法的硬件设计与实现. ZTu, **12**(10):1740~1744.
- 郑兆青, 桑红石, 黄卫锋. 用于 H. 264/AVC 的 D 级数据重用整数运动估计 VLSI 结构. DX, **35**(10):1921~1926.
- 郑兆青, 桑红石, 赖晓玲等. 一种新的用于 H. 264/AVC 的运动估计 VLSI 结构. JX, **30**(12):2101~2108.
- 周非, 范馨月, 黄顺吉. 基于 MNMP 的 ScanSAR 并行成像系统设计. DxX, **29**(2):391~396.

D2: 通信、视频传输 (32 篇)

- 曹宁, 胡建荣, 马银松. 基于光流估计的整帧恢复算法. TX, **28**(5):137~140.
- 陈建乐, 刘济林, 陈国斌等. 一种针对整帧图像丢失的错误隐藏算法. ZTu, **12**(1):37~42.
- 陈云鹏, 张培仁, 孙铁等. 一种低复杂度的多参考帧选择率失真优化方法. DxX, **29**(4):967~970.
- 丁学文, 杨兆选, 曹继华等. SPIHT 编码图像传输的错误保护技术. ZTu, **12**(10):1802~1805.
- 丁勇, 陆生礼, 时龙兴. 时空权重和边缘自适应去隔行. JX, **30**(4):655~660.
- 范钰华, 王嘉, 孙军等. 基于分布式编码的多描述视频编解码器. ZTu, **12**(10):1823~1826.
- 冯镔, 朱光喜, 刘文予. 基于 H. 264/AVC 的时空域差错隐藏方案. TX, **28**(4):72~79.
- 荆涛, 霍炎. 一种平滑的可变步长算法. XC, **23**(6):841~843.
- 康显桂, Zhuang Xin-hua. 视频质量平滑中恒定 SNR 比特分

- 配. *DxX*, **29**(10):2444~2447.
- 李晓辉. 改进的降低空间分辨率视频编码转换算法. *DxX*, **29**(8):1900~1902.
 - 刘军清, 李天昊. 基于纠错算术码的信源信道自适应联合编解码系统. *TX*, **28**(9):112~118.
 - 马鑫, 杨小康, 宋利. 自适应时域差错掩盖方法. *ZTu*, **12**(10):1782~1785.
 - 秦洁, 刘兵章, 张欣等. 一种基于 CDMA 系统的 MPEG-4 视频传输速率平滑算法. *DxX*, **29**(7):1560~1563.
 - 宋彬, 郭春芳, 秦浩. 基于 H. 264 视频通信的交织保护算法. *TX*, **28**(6):74~79.
 - 谈永敏, 杨小康, 宋利. 基于可伸缩视频编码 Hierarchical-B 结构的恒定质量控制. *ZTu*, **12**(10):1827~1831.
 - 唐贵进, 朱秀昌. 运动状态检测在低速率无线视频传输中的研究和应用. *XC*, **23**(1):136~140.
 - 王蕊栋, 叶德建. 高分辨率视频会议中基于模板的自适应编码算法. *ZTu*, **12**(10):1811~1814.
 - 王升辉, 裘正定. 基于空间更新过程的 MPEG-4 视频流建模方法. *XC*, **23**(4):485~488.
 - 王中元, 胡瑞敏, 傅佑铭等. H. 323 视频会议系统中视频编解码子系统设计若干问题的研究. *DxX*, **29**(7):1596~1599.
 - 魏哲, 蔡灿辉. 基于高速 DSP 的 H. 264 视频编码器的实现和优化. *XC*, **23**(5):737~741.
 - 徐华, 徐澄圻. 基于非正则低密度校验码的图像传输. *SC*, **22**(2):155~160.
 - 徐进, 吴志美. 结合人眼视觉特性的率失真优化帧刷新算法. *TX*, **28**(3):35~40.
 - 徐岩, 李桂苓, 刘昱等. 重构内部宏块在视频转换编码中的应用. *ZTu*, **12**(2):283~287.
 - 杨天武, 彭强, 诸昌铃. 基于标准化量化步长 θ 的数据率模型. *ZTu*, **12**(5):841~846.
 - 余圣发, 陈曾平, 庄利文. 针对网络视频应用的视频转码技术综述. *TX*, **28**(1):111~118.
 - 张建龙, 高新波, 杜建超等. 基于网络带宽非均匀划分的可分级码流无缝切换方法. *JX*, **30**(5):845~850.
 - 张洋, 张楠, 尹宝才. 多描述编码研究现状. *JX*, **30**(9):1612~1624.
 - 张一, 周军. 传输流不等差错保护的研究. *ZTu*, **12**(10):1778~1781.
 - 张源海, 钟琳华, 皇甫伟等. 一种新型的 VBR 视频传输方法. *DX*, **35**(5):895~899.
 - 张忠伟. 基于最小二乘支持向量机的比特分配算法. *DX*, **35**(4):756~760.
 - 周树民, 李锦涛, 张勇东. 易错视频传输中基于带宽-失真代价最小化准则的部分重传算法. *JX*, **30**(2):212~224.
 - 朱仲杰, 梁丰, 蒋刚毅等. 面向立体视频的比特分配与码率控制算法. *TX*, **28**(7):15~21.
- D3: 文档 (14 篇)**
- 陈洁, 张迎春, 张燕平等. 基于信息粒度的聚类分析及其应用. *ZTu*, **12**(1):87~91.
 - 陈蕾, 王传栋, 孙如信等. 距离加权的 2-D 核自联想记忆模型及其应用. *MR*, **20**(1):110~114.
 - 陈晓苏, 吴振华, 肖道举. 一种基于签名分段和 HMM 的离线中文签名验证方法. *ZX*, **33**(2):205~209.
 - 郝红卫, 蒋蓉蓉. 基于最近邻规则的神经网络训练样本选择方法. *ZX*, **33**(12):1247~1251.
 - 郝红卫, 苏荣伟. 基于 K 近邻决策边界的特征提取. *MR*, **20**(5):649~653.
 - 刘长松, 丁晓青. 利用字形风格约束的字符识别研究. *ZX*, **33**(11):1121~1127.
 - 马瑞, 杨静宇. 一种有效的手写汉字多步分割方法. *ZTu*, **12**(11):2062~2067.
 - 孟明, 吴仲城, 余永等. 基于笔段特征和 HMM 的在线签名认证方法研究. *MR*, **20**(1):95~100.
 - 王建平, 李帷韬, 王金玲等. 基于仿生模式识别的手写体汉字识别方法的研究. *ZTu*, **12**(7):1261~1269.
 - 王建平, 赵丽欣, 王金玲. 一种脱机手写体汉字识别的容错编码方法研究. *ZTu*, **12**(12):2169~2178.
 - 夏勇, 肖柏华, 王春恒等. 一种快速实用的散布中文斜体字符的检测方法. *MR*, **20**(6):855~860.
 - 殷绪成, 刘昌平. 基于 Viterbi 算法的粘连断裂印刷体数字行切分识别方法. *ZX*, **33**(3):315~322.
 - 赵巍, 刘家锋, 唐降龙等. 连续字符识别的级联 HMM 训练算法. *JX*, **30**(12):2142~2150.
 - 朱明, 李宇航, 林亭秀等. 关于中药寒热药性试验的红外成像观测. *ZTi*, **12**(1):53~58.
- D4: 生物、医学 (28 篇)**
- 柴黎, 王明泉. 颅脑 MRI 图像的分水岭分割方法研究. *ZS*, **26**(3):384~388.
 - 傅蓉, 申洪. 基于色度学准则分析的免疫组化彩色图像 C-均值聚类分割技术研究. *ZTi*, **12**(1):6~10.
 - 高艳, 杨新, 尚岩峰等. 实时三维超声心动图中二尖瓣的提取. *SC*, **22**(3):304~308.
 - 哈斯苏荣, 阿木古楞, 高璐琰等. 草红花显微特征点的不变矩表达. *ZS*, **26**(2):220~225.
 - 胡春红, 郁道银, 孙正等. 基于造影图像的冠脉树中感兴趣血管段最佳视角的研究. *ZS*, **26**(2):238~243.
 - 胡正平, 张晔. 基于微弱目标-背景合成技术的微钙化点检测. *ZS*, **26**(4):637~640.
 - 贾冬焱, 郝立巍, 周寿军等. 自动测量造影图像中血管中心线和宽度的新方法. *ZS*, **26**(2):214~219.
 - 李彬, 陈武凡, 颜刚. 基于隶属度光滑约束的模糊 C 均值聚类算法. *ZTu*, **12**(4):623~627.

- 李彬,陈武凡. 基于模糊连接度的多发性硬化症 MR 图像自动分割算法. ZS,26(5):664~668.
 - 李海岩,阮世捷,彭翔等. 基于 CT 图像的活体人颅骨几何特征的研究. ZS,26(6):946~950.
 - 李勇明,曾孝平. 一种基于组合分割思想的尿沉渣图像分割新方法. ZS,26(3):394~403.
 - 林春漪,尹俊勋,马丽红等. 基于模糊贝叶斯网络的星形细胞瘤恶性分级的研究. ZTu,12(4):661~665.
 - 刘国才,王耀南,全惠敏. 基于多层 Mumford2Shah 向量模型的彩色视乳头图像杯盘重建、分割与度量. ZS,26(5):700~707.
 - 刘炎,邱天爽,郭冬梅. 基于柔性形态学与聚类算法的 X 光胸片肺部分割. ZS,26(5):684~689.
 - 钱海勇,周卫平,鲍旭东等. 基于逆浓度扩散及直方图的 Mumford-Shah 模型的血管分割. XC,23(2):273~277.
 - 唐盛,陈思平. 一种快速的全自动超声子宫图像分割算法. ZS,26(5):669~674.
 - 田庆飞,孟如松,姜志国等. 皮肤黑色素细胞肿瘤图像综合分割方法研究. ZTi,12(3):207~211.
 - 王成,张剑戈,江旭峰等. 基于知识的三维核医学图像左心室心肌区的提取. ZS,26(1):19~23.
 - 王敏尤,秦斌杰. 基于图像块匹配和测地线活动轮廓模型的肿瘤自动检测算法. ZS,26(6):951~954.
 - 王瑞平,万柏坤,高上凯. 独立分量分析在乳腺钼靶 X 片感兴趣区域提取中的应用. ZS,26(4):532~536.
 - 吴凯凯,汪源源,钱斌等. 基于超声图像特征区分子宫肌瘤和腺肌病. ZS,26(4):537~540.
 - 许燕,胡广书,耿进朝等. 基于血管平行性和拓扑性的冠脉树分割. ZS,26(1):24~29.
 - 杨静,王明泉,李志刚等. 减影技术在射线图像分割与提取中的应用. ZTi,12(2):105~109.
 - 于江波,陈后金. PCNN 模型的改进及其在医学图像处理中的应用. DxX,29(10):2316~2320.
 - 余锦华,汪源源,陈萍等. 胎儿超声图像分割及自动径线测量. ZS,26(6):867~873.
 - 张向荣,谭山,焦李成. 基于商空间粒度计算的 SAR 图像分类. JX,30(3):483~490.
 - 张翼,宋志坚. CT 结肠造影中息肉的自动识别. ZS,26(2):226~230.
 - 周付根,王红霞,余续刚等. 基于图像跟踪的呼吸运动分析. ZS,26(5):652~657.
 - 陈德元,涂国防. 一种基于小波变换的 SAR 图像舰船检测的新算法. DxX,29(4):855~858.
 - 陈广东,张长耀,朱岱寅等. 充分利用 SAR 图像中动静目标信息检测动目标. DX,35(6):1207~1211.
 - 陈红艳,付毓生,张睿等. 基于 ICA-SCS 算法的极化 SAR 图像相干斑抑制. DxX,29(4):819~821.
 - 陈君颖,田庆久. 高分辨率遥感植被分类研究. YX,11(2):221~227.
 - 戴尔燕,金亚秋. 相向飞行全极化 SAR 图像对建筑物的立体重构. YX,11(6):787~795.
 - 邓家先,黄艳. 一种新的基于曲线拟合的干涉光谱图像压缩算法. DxX,29(5):1140~1144.
 - 邓文胜,邵晓莉,刘海等. 基于证据理论的遥感图像分类方法探讨. YX,11(4):568~573.
 - 冯宏川,王岩飞. 一种基于子孔径的 GMTI 方法. DxX,29(2):397~400.
 - 高连如,张兵,张霞等. 基于局部标准差的遥感图像噪声评估方法研究. YX,11(2):201~208.
 - 何灵敏,沈掌泉,孔繁胜等. SVM 在多源遥感图像分类中的应用研究. ZTu,12(4):648~654.
 - 何云涛,江月松,钟宇. CLEAN 算法在机载毫米波综合孔径成像中的应用. DxX,29(7):1757~1760.
 - 黄利文,毛政元,李二振等. 基于几何概率的聚类分析方法及其在遥感影像分类中的应用. ZTu,12(4):633~640.
 - 黄昕,张良培,李平湘. 基于多尺度特征融合和支持向量机的高分辨率遥感影像分类. YX,11(1):48~54.
 - 黄昕,张良培,李平湘. 融合形状和光谱的高空间分辨率遥感影像分类. YX,11(2):193~200.
 - 贾承丽,赵凌君,吴其昌等. 基于遗传算法的 SAR 图像道路网检测方法. JX,30(7):1186~1194.
 - 金添,周智敏. 一种超宽带 SAR 地雷散射方位不变特征提取新方法. DX,35(12):2272~2278.
 - 康欣,韩崇昭,徐丰等. 基于去取向理论的全极化 SAR 图像模糊非监督聚类. DxX,29(4):822~826.
 - 孔春芳,吴冲龙,徐凯. 基于多特征的城市用地高分辨率影像分类与提取. SC,22(3):315~320.
 - 李刚,许稼,彭应宁等. 基于混合积累的 SAR 微弱运动目标检测. DX,35(3):576~579.
 - 李立钢,吴一戎,刘波等. 基于卫星参数预测的星载 SAR 图像定位方法研究. DxX,29(7):1691~1694.
 - 李书晓,常红星. 基于总变分和形态学的航空图像道路检测算法. JX,30(12):2173~2180.
 - 李玮,康晓光,陈雷. 一种 MODIS 遥感图像大气校正的快速算法. XC,23(5):751~754.
 - 李亚春,张旭晖,吴洪颜等. 一种增强的基于上下文火点遥感影像识别方法. ZTu,12(9):1627~1632.
 - 李禹,计科峰,粟毅. SAR 图像车辆目标 ROI 的提取技术.
- D5: 遥感、雷达、测绘 (63 篇)**
- 曹广真,金亚秋. 基于水平集方法的多源遥感数据融合及城区道路提取. DxX,29(6):1464~1470.
 - 柴焱,计文平,沈兰荪. 一种基于混合整型变换和 3D-SPIHT 的高光谱图像嵌入式无损压缩方法. DX,35(9):1770~1773.

- DxX, **29**(9):2105~2109.
- 梁欣廉,张继贤,李海涛.基于机载激光雷达数据的简单规则建筑物模型重建. ZTu, **12**(4):641~647.
 - 刘晓云,陈武凡,王振松.基于 MRF 随机场的多光谱遥感影像最优化分级聚类. CX, **36**(4):400~405.
 - 刘晓云,王振松,陈武凡等.基于 MRF 随机场和广义混合模型的遥感图像分级聚类. YX, **11**(6):838~844.
 - 刘颖,廖桂生,周争光.对图像配准误差稳健的分布式星载 SAR 地面运动目标检测及高精度的测速定位方法. DX, **35**(6):1009~1014.
 - 欧阳戴,马建文,戴芹.利用动态贝叶斯网络进行多时相遥感变化检测. DxX, **29**(3):549~552.
 - 潘志刚,王岩飞.基于 DCT 的分块自适应量化算法及其用于 SAR 原始数据压缩. DxX, **29**(8):1784~1788.
 - 钱永刚,葛永慧,孔祥生.基于卷积运算的影像镶嵌算法研究. YX, **11**(6):811~816.
 - 沈明威,朱岱寅,朱兆达等.基于信号子空间处理的和/差波束干涉 SAR/GMTI 技术研究. DxX, **29**(1):19~22.
 - 沈占锋,骆剑承,陈秋晓等.基于 MPI 的遥感影像高效能并行处理方法研究. ZTu, **12**(12):2132~2136.
 - 苏令华,程翁,万建伟.基于同类邻点预测的高光谱图像无损压缩. XC, **23**(4):544~547.
 - 苏令华,万建伟.基于单邻点多波段预测的高光谱图像无损压缩算法. YX, **11**(2):166~170.
 - 孙文峰,陈安,邓海涛等.一种新的机载 SAR 图像几何校正和定位算法. DX, **35**(3):553~556.
 - 田巴睿,孙根云,王超等.基于引力场增强的 SAR 图像舰船检测方法研究. YX, **11**(4):452~459.
 - 汪沛,王岩飞,张冰尘等.基于贝叶斯门限的静态小波域干涉相位图滤波. DxX, **29**(11):2706~2710.
 - 王力宝,许稼,向家彬等.基于 DPCA 和多分辨分析的 SAR 微弱运动目标检测. DxX, **29**(12):2843~2847.
 - 王涛,杨建思,廖明生.一种从 LIDAR 数据提取城区 DTM 的方法. YX, **11**(2):209~213.
 - 吴柯,张良培,李平湘.一种端元变化的神经网络混合像元分解方法. YX, **11**(1):20~26.
 - 吴永辉,计科峰,郁文贤. SVM 全极化 SAR 图像分类中的特征选择. XC, **23**(6):877~881.
 - 吴永辉,计科峰,郁文贤.基于 H- α 和改进 C-均值的全极化 SAR 图像非监督分类. DxX, **29**(1):30~34.
 - 徐宏根,马洪超,李德仁.结合 SOM 神经网络和混合像元分解的高光谱影像分类方法研究. YX, **11**(6):778~786.
 - 徐牧,王雪松,肖顺平.基于 Hough 变换与目标主轴提取的 SAR 图像目标方位角估计方法. DxX, **29**(2):370~374.
 - 颜梅春.高分辨率影像的植被分类方法对比研究. YX, **11**(2):235~240.
 - 杨云志,黄顺吉,王建国.一种基于相干斑抑制技术的 SAR 图像编码方法. DxX, **29**(10):2533~2536.
 - 俞根苗,邓海涛,吴顺君.弹载 SAR 图像几何失真校正误差分析. DxX, **29**(2):383~386.
 - 虞欣,郑肇葆.基于 Q 型因子分析的训练样本的选择. CX, **36**(1):67~71.
 - 曾尚春,朱兆达.块自适应标量-矢量量化算法压缩 SAR 原始数据. ZTu, **12**(8):1349~1353.
 - 曾尚春,朱兆达.小波变换块自适应量化算法压缩 SAR 原始数据. YX, **11**(4):481~486.
 - 张东波,王耀南.基于近似域划分的可变离散精度粗逻辑网络及其遥感图像分类应用. DxX, **29**(11):2720~2724.
 - 张鸥,宫辉力,李小娟等.基于 DEM 的长城遥感信息提取方法研究. ZTu, **12**(8):1495~1500.
 - 张荣,杨建朝,张倩等. SAR 图像运动模糊参数估计. DX, **35**(10):2019~2022.
 - 张文超,王岩飞,潘志刚.基于三维矩阵变换的多极化 SAR 图像压缩. DX, **35**(12):2430~2434.
 - 张绪锦,朱兆达,邓海涛等.一种适用于双通道星载 SAR 的动目标检测技术. DX, **35**(9):1794~1798.
 - 张振华,保铮,邢孟道等.小卫星分布式 SAR 系统的信噪比研究. DxX, **29**(1):15~18.
 - 钟家强,王润生.一种基于线特征的道路网变化检测算法. YX, **11**(1):27~32.
 - 钟燕飞,张良培,李平湘.基于多值免疫网络的多光谱遥感影像分类. JX, **30**(12):2181~2188.
 - 周峰,李亚超,邢孟道等.一种单通道 SAR 地面运动目标成像和运动参数估计方法. DX, **35**(3):543~548.
 - 周梅,张志敏,邓云凯.合成孔径雷达饱和数据校正方法及其应用研究. DxX, **29**(9):2114~2116.
- D6:其他 (27 篇)**
- 艾斯卡尔·艾木都拉,地里木拉提·吐尔逊.基于时空非参数回归估计的动态杂波抑制技术研究. TX, **28**(3):63~67.
 - 敖波,张定华,赵歆波等.密度场图像演化分析. ZTu, **12**(9):1642~1646.
 - 蔡志勇,陈荣,余伏章等.一种基于小波变换的 V 型坡口焊缝识别算法. ZTu, **12**(5):866~870.
 - 常发亮,马志强,张赞.机械手多线段目标实时视觉检测与定位. DC, **21**(6):99~103.
 - 陈得宝,赵春霞,张浩峰等.基于 2 维激光测距仪的快速路边检测. ZTu, **12**(9):1604~1609.
 - 韩庆大,辛颖.基于数字图像处理的棒线材计数方法. ZTu, **12**(7):1276~1279.
 - 黄茜,欧艳华.铸造缺陷 X 光图像的模拟方法. SC, **22**(4):475~478.
 - 金翠云,靳世久,王建林.基于光流技术的 MEMS 器件平面微运动测量. DC, **21**(1):90~95.

- 金野,宋玲,刘松波等. 纸币清分系统中的纸币污损检测. ZX, **33**(9):971~973.
 - 乐静,郭俊杰,朱虹. 金属球面缺陷的图像检测方法. DX, **35**(6):1199~1202.
 - 李华志. 用图像控制模块实现物流运输装置的远程控制. ZTu, **12**(3):495~499.
 - 刘则毅,徐高奎,丁雅斌. 一种新的图像合成方法. ZTu, **12**(3):432~437.
 - 鲁昌华,裴凝凝,李艳红. BP 神经网络对驻极体麦克图像特征识别的研究. DC, **21**(2):26~30.
 - 盛党红,夏庆观,温秀兰. 基于遗传神经网络的零件图像非线性校正. SC, **22**(4):407~410.
 - 唐秉湘,滕召胜,王卓. 基于火焰光能的炉膛火焰温度在线检测研究进展. DC, **21**(1):66~70.
 - 王伟智,刘秉瀚,朱敏琛. 基于协同方法交通状态识别. ZTi, **12**(1):37~42.
 - 王晓平,郝玉峰,付德刚等. 计算机唇读研究进展. SC, **22**(3):353~359.
 - 王燕芳,刘力,阙介民等. 基于工业 CT 的逆向工程中二维轮廓参数化尺寸的获取. CT, **16**(3):29~35.
 - 吴华意,李新科,胡勇. 从机载激光扫描数据中交互式提取人字形房屋模型的方法研究. ZTu, **12**(3):474~481.
 - 向长波,张怀柱,宋建中等. 非标准视频同步信号的全自动提取与稳定显示. SC, **22**(4):486~490.
 - 俞龙江,杨英,孙圣和. 一种新颖的电路板短路和断路故障检测算法. DC, **21**(3):1~4.
 - 原培新,牛艳平. 带保温层管道腐蚀状态的 X 射线检测方法研究. CT, **16**(3):36~42.
 - 原培新,孙岩,陈波等. 图像处理在 X 射线胶片缺陷识别中的应用. CT, **16**(1):49~53.
 - 原培新,张晓慧. 数字图像处理在汽车轮胎 X 射线检测中的应用. CT, **16**(2):48~51.
 - 张莉,刘济林. 基于最大字符像素距离计算的牌照属性判别方法. ZTu, **12**(5):860~865.
 - 张志斌,罗锡文,王在满. 基于良序子集的最近邻差分图像识别算法. ZTu, **12**(11):2048~2051.
 - 章小兵,宋爱国,唐鸿儒. 基于视觉的室内移动机器人精确定位方法. SC, **22**(2):196~200.
- E:综述评论(共 7 篇)**
- E1:综述(7 篇)**
- 侯春萍,杨蓄,宋晓炜等. 立体电视技术综述. XC, **23**(5):729~736.
 - 马苗,田红鹏,张艳宁. 灰色理论在图像工程中的应用研究进展. ZTu, **12**(11):1943~1951.
 - 史元春,徐光祐,高原等. 中国多媒体技术研究:2006. ZTu, **12**(7):1129~1151.
 - 田莹,苑玮琦. 遗传算法在图像处理中的应用. ZTu, **12**(3):389~396.
 - 王素玉,沈兰荪. 智能视觉监控技术研究进展. ZTu, **12**(9):1505~1514.
 - 章毓晋,马婧. 对《中国图象图形学报》之洛特卡分布参数的统计分析. ZTu, **12**(5):776~781.
 - 章毓晋. 中国图像工程:2006. ZTu, **12**(5):753~775.